

# Rozpoznávání tváří II

**Vojtěch Franc**

Centrum strojového vnímání, ČVUT FEL Praha

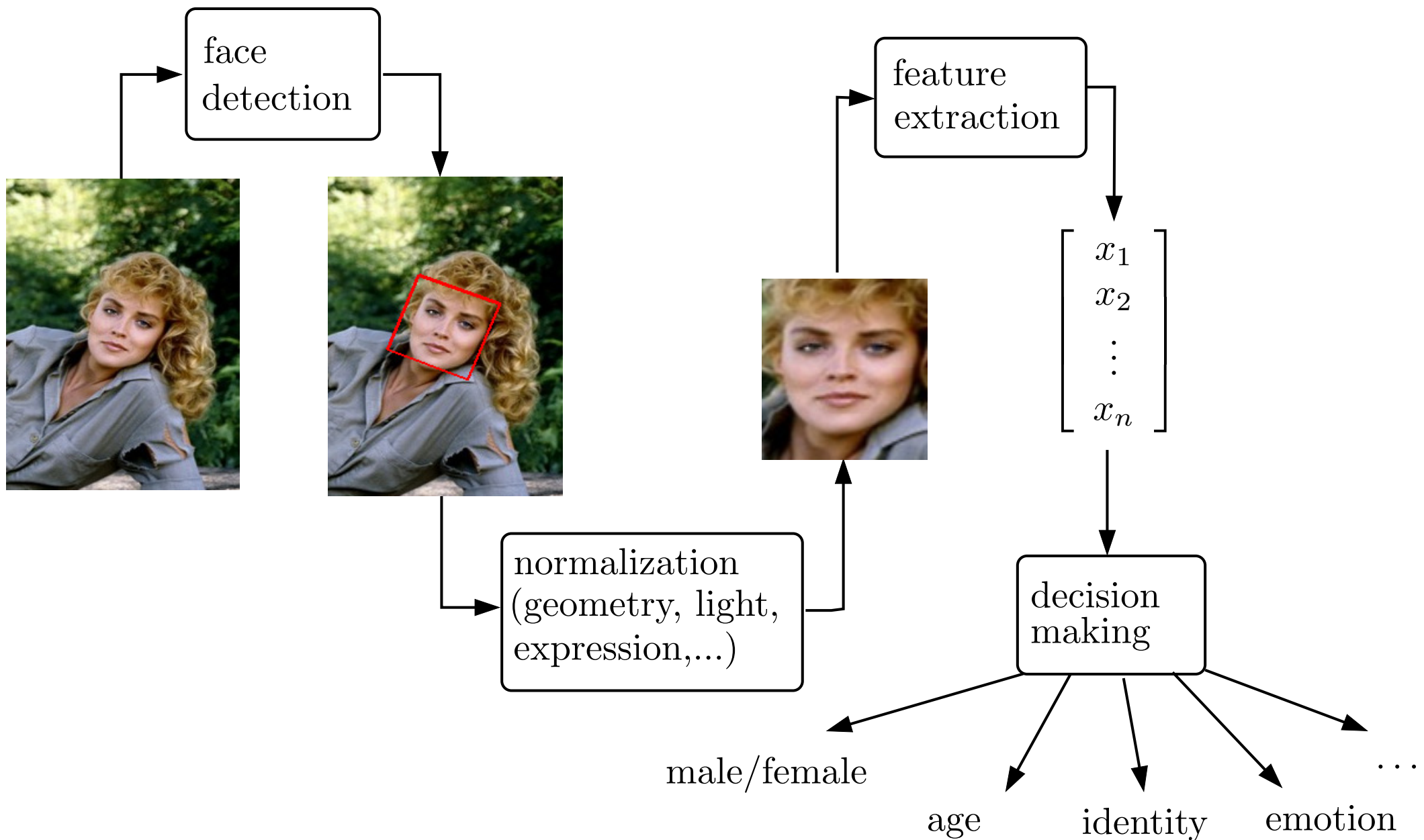


Biometrie ZS 2020

## Osnova:

- ◆ Registrace tváří.
- ◆ Reprezentace tváří.

# Stavební bloky typického systému pro rozpoznávání tváří

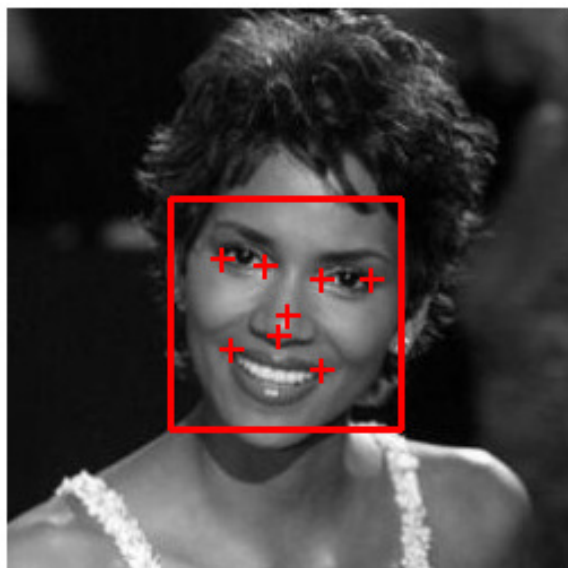


## Příklad geometrické normalizace tváře - affinní vyrovnání

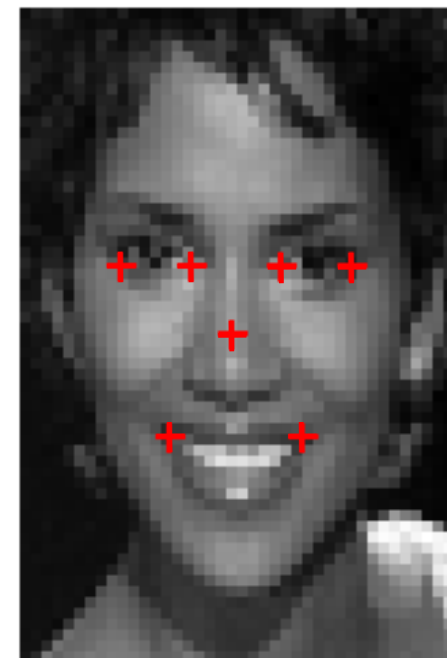
- ◆ Cíl: Převést vstupní tvář do polohy, která bude nezávislá na třídě geometrických transformací, vůči které chceme být invariantní (např. rotace, translace, změna měřítka).
- ◆ Metoda zajišťující invarianci vůči affinní transformaci: nalezneme parametry affinní transformace (např. metodou nejmenších čtverců)

$$\mathbf{x}' = \mathbf{Ax} + \mathbf{b} \quad \mathbf{A} \in \mathbb{R}^{2 \times 2}, \mathbf{b} \in \mathbb{R}^{2 \times 1}, \mathbf{x} \in \mathbb{R}^{2 \times 1}$$

která promítne nalezené významné body ( $\mathbf{x}_1, \dots, \mathbf{x}_L$ ) na jejich kanonickou konfiguraci ( $\mathbf{x}'_1, \dots, \mathbf{x}'_L$ ).

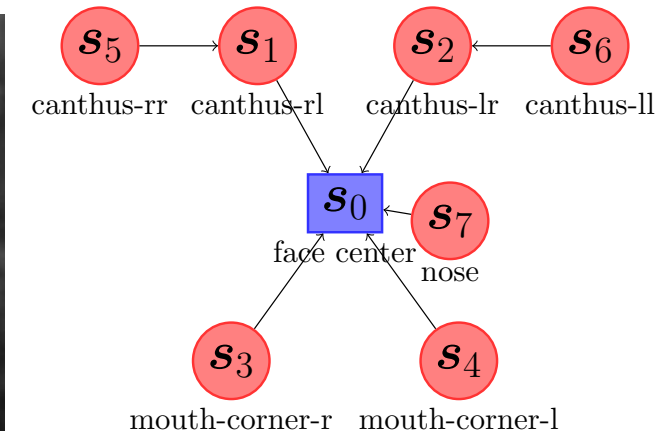
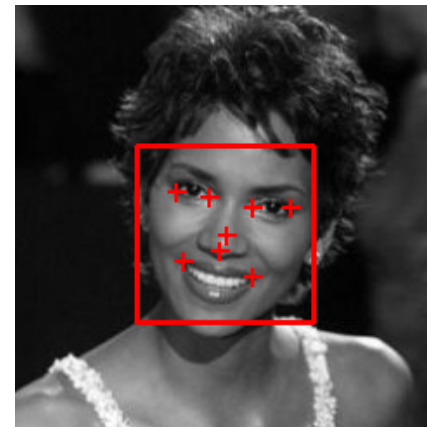
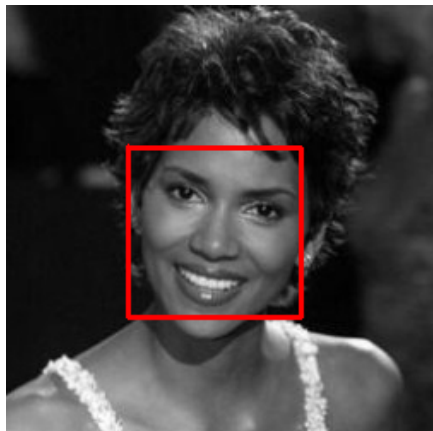


Vstupní obrázek



Normalizovaný obrázek

# Registrace tváře - Deformable Part Model detector významných bodů



**Strukturní klasifikátor** (deformable part model) odhaduje pozici významných bodů z obrázku:

$$(\hat{\mathbf{x}}_1, \dots, \hat{\mathbf{x}}_L) = \underset{(\mathbf{x}_1, \dots, \mathbf{x}_L) \in \mathcal{N}^{2 \times L}}{\operatorname{Argmax}} \text{skóre}(I, \mathbf{x}_1, \dots, \mathbf{x}_L)$$

kde skóre je dekomponované na součet jednoduchých funkcí

$$\text{skóre}(I, \mathbf{x}_1, \dots, \mathbf{x}_L) = \underbrace{\sum_{i \in V} f_i(I, \mathbf{x}_i)}_{\text{shoda s obrázkem}} + \underbrace{\sum_{ij \in E} f_{ij}(\mathbf{x}_i, \mathbf{x}_j)}_{\text{přípustnost tvaru}}$$

**Problém:** Jak při zafixované struktuře  $(V, E)$  zvolit funkce  $(f_i, i \in V)$  a  $(f_{ij}, ij \in E)$  tak, aby detektor fungoval dobře?

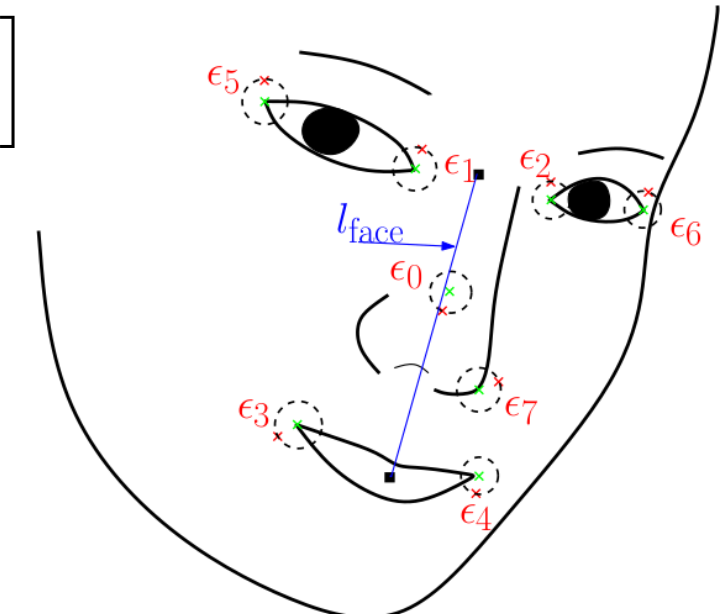
# Učení DPM detektoru

**Problém učení:** Nalezni  $f = \{(f_i, i \in V), (f_{ij}, ij \in E)\}$  tak, aby strukturní klasifikátor

$$(\hat{\mathbf{x}}_1, \dots, \hat{\mathbf{x}}_L) = \operatorname{Argmax}_{(\mathbf{x}_1, \dots, \mathbf{x}_L) \in \mathcal{N}^{2 \times L}} \left[ \sum_{i \in V} f_i(I, \mathbf{x}_i) + \sum_{ij \in E} f_{ij}(\mathbf{x}_i, \mathbf{x}_j) \right]$$

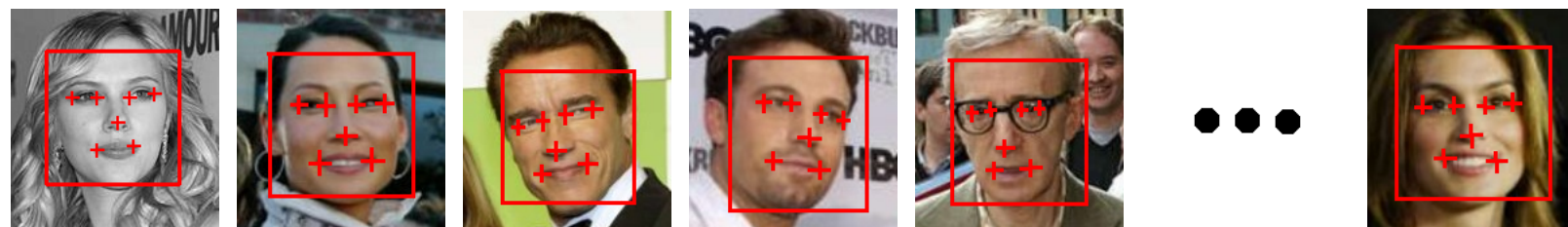
odhadoval co nejpřesněji, ve smyslu průměrné odchylky,

$$\text{err} = \frac{\varepsilon_0 + \dots + \varepsilon_{L-1}}{L} \cdot \frac{1}{l_{\text{face}}}$$



měřené na manuálně označené trénovací sadě příkladů:

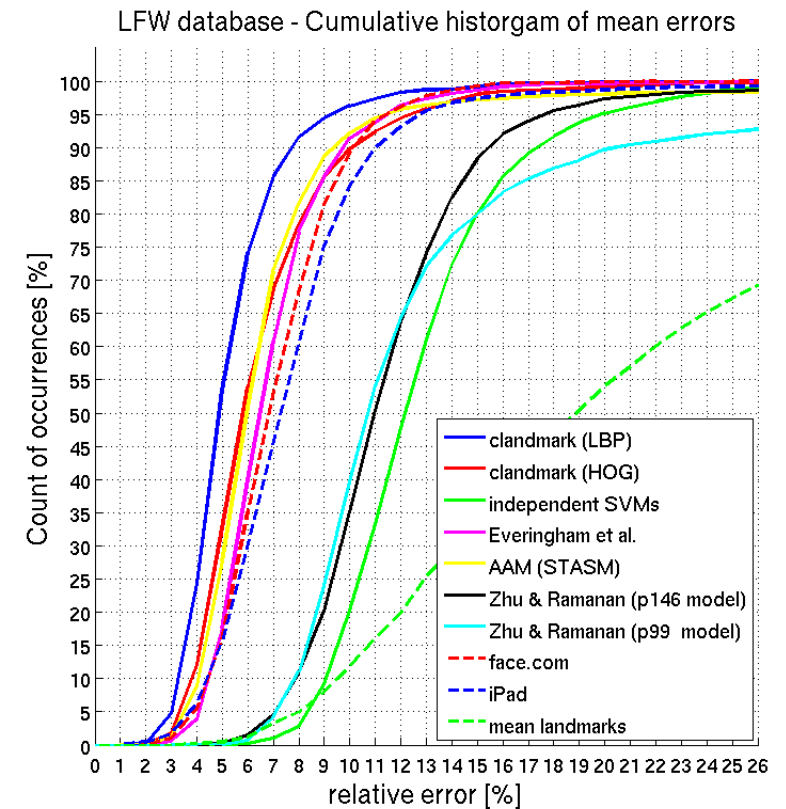
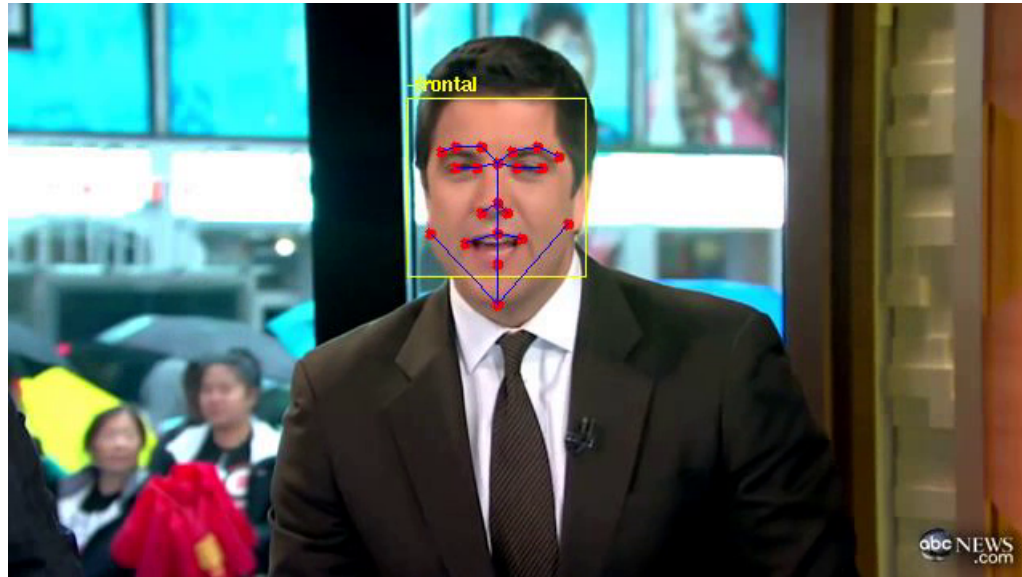
$$E(f) = \text{err}_1(f) + \text{err}_2(f) + \text{err}_3(f) + \text{err}_4(f) + \text{err}_5(f) + \dots + \text{err}_m(f)$$



**Structured output SVM:** Úlohu učení  $\min_f E(f)$  převeze na problém minimalizace konvexní funkce, kterou lze efektivně řešit i pro velká data.

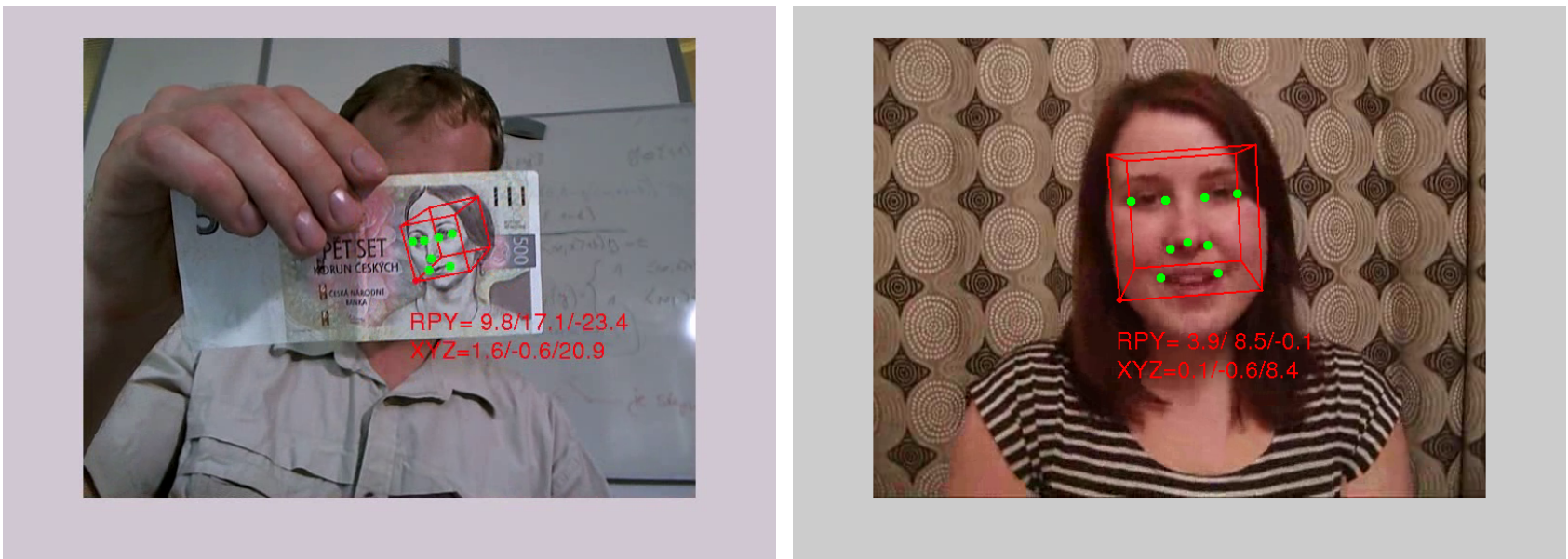
# Open Source Landmarking Library

- ◆ Language: C++, binding to Matlab
- ◆ Automatizovaný návrh: popiš strukturu v XML, sesbírej příklady a spusť učení
- ◆ Multi-platform: PC, iPad, Geod, ARM
- ◆ Real-time:  $\approx 3\text{ms}$  per face on ordinary PC



- ◆ Download: <http://cmp.felk.cvut.cz/~uricamic/clandmark/>

# Registrace tváře - 3D detektor významných bodů



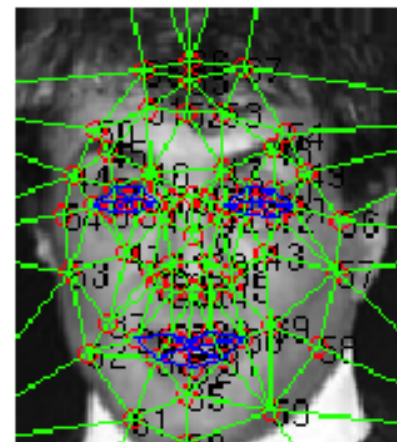
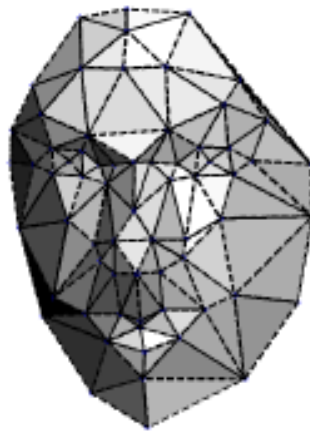
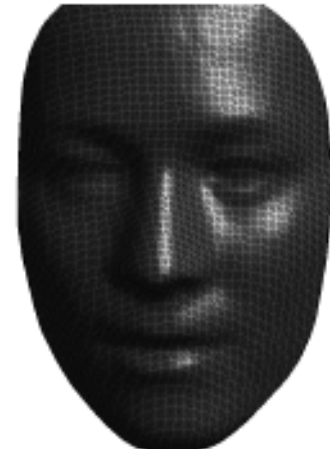
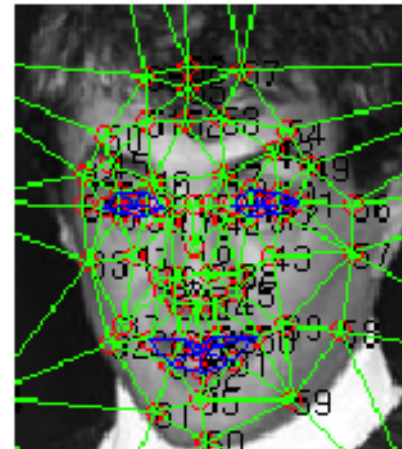
Fitování 3D modelu tváře do 2D obrázku:

$$(\hat{\mathbf{t}}, \hat{\alpha}, \hat{\beta}, \hat{\gamma}) = \underset{(\mathbf{t}, \alpha, \beta, \gamma) \in \mathbb{R}^6}{\operatorname{Argmax}} \text{score}(I, \mathbf{t}, \alpha, \beta, \gamma) := \sum_{i=1}^L f_i \left( I, K[R(\alpha, \beta, \gamma) | \mathbf{t}] \mathbf{X}_i \right)$$

$(\mathbf{X}_1, \dots, \mathbf{X}_L) \in \mathbb{R}^{3 \times L}$	3D model tváře
$K[R(\alpha, \beta, \gamma)   \mathbf{t}]$	model perspektivní kamery
$(\mathbf{t}, \alpha, \beta, \gamma)$	poloha a úhly natočení hlavy

## Příklad geometrické normalizace tváře - frontalizace

- ◆ 3D model se použije k transformaci významných bodů detekovaných ve vstupním obrázku do konfigurace, kterou bychom viděli při frontálním pohledu na tvář.



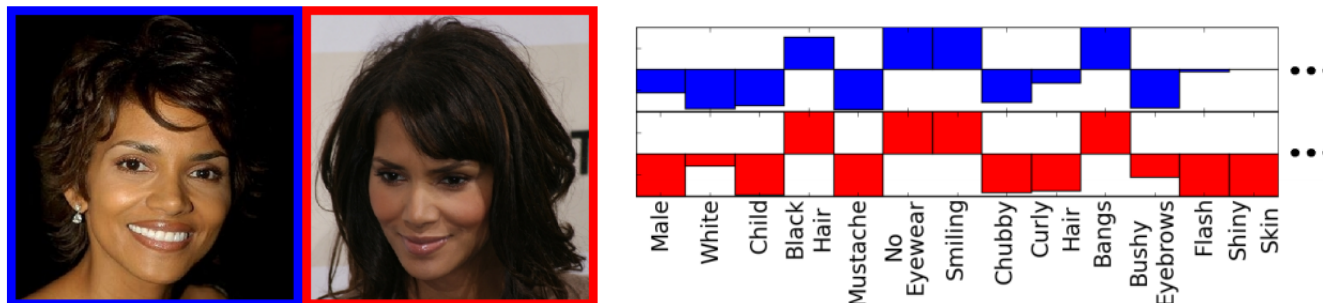
## Numerická reprezentace tváře

**Era I:** obrázek je reprezentován jako vektor v lineárním prostoru - PCA, LDA, ...

$$x = \tilde{x} = \mu + z_1\mathbf{a}_1 + z_2\mathbf{a}_2 + z_3\mathbf{a}_3 + z_4\mathbf{a}_4 + z_5\mathbf{a}_5 + z_6\mathbf{a}_6 + z_7\mathbf{a}_7 + z_8\mathbf{a}_8$$

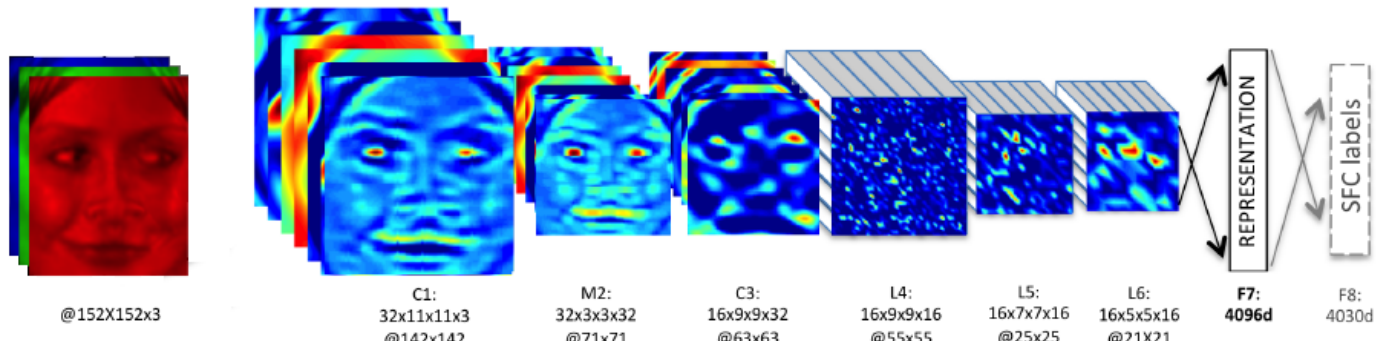

Turk & Pentland: Eigenfaces for Recognition. Jour. Cogn. Neuro. 1991.

**Era II:** Deskriptory navržené specificky pro popis tváře např. attribute descriptor



Kumar at al: Attribute and Simile Classifiers for Face Verification. ICCV'09

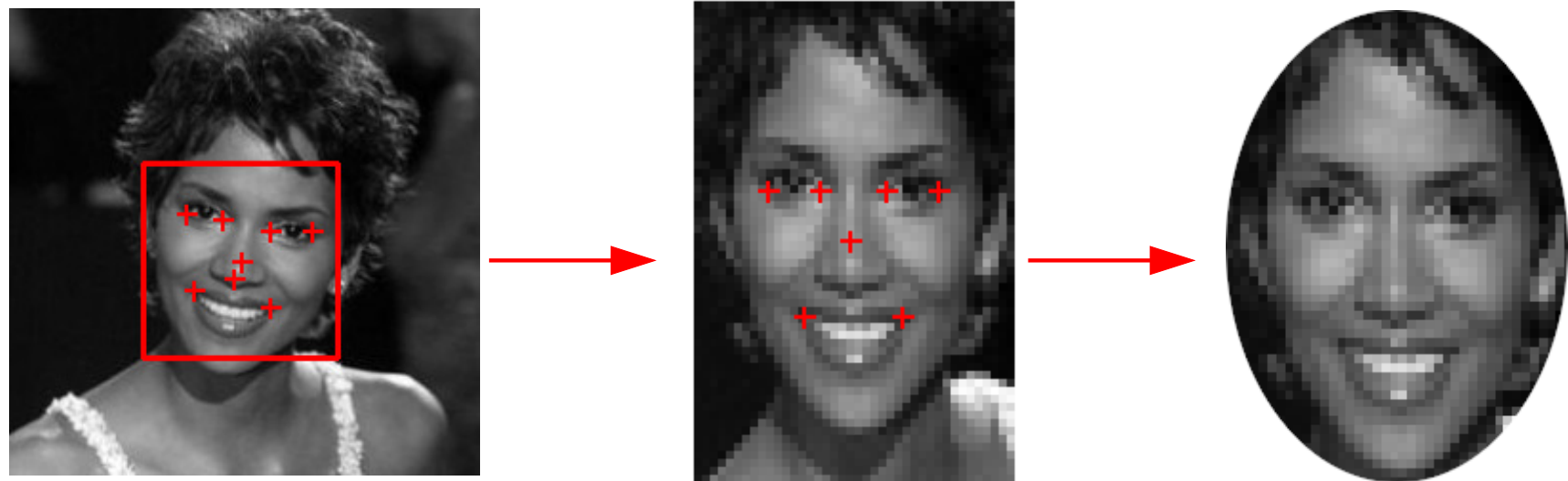
**Era III:** Reprezentace učená z dat např. pomocí hlubokých neuronových sítí



Taigman et al: DeepFace: Closing the Gap to Human-Level Performance in Face Verification. CVPR 2014.

## Holistický popis vs. lokalní popis

- ◆ Holistický popis: celý výřez geometricky normalizované tváře.

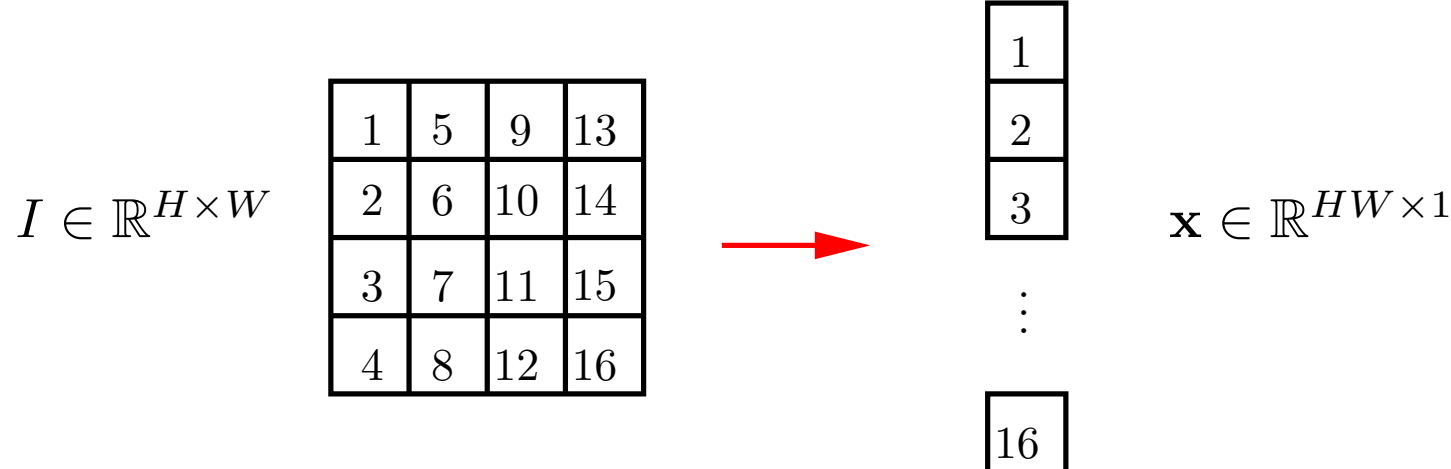


- ◆ Lokální popis: geometricky normalizované výřezy kolem významných bodů.



## Příznaková reprezentace obrázku pomocí jasových hodnot

- ◆ Nejjednodušší způsob reprezentace je použít přímo jasové hodnoty v jednotlivých pixelech jako příznaky



- ◆ Nevýhody: vysoká dimenze a citlivost na změnu jasu, pozice, výrazu ... všeho.
- ◆ Pro zvýšení invariance vůči změně osvětlení se používají jasové normalizace. Např:
  - Normalizace na nulovou střední hodnotu a jednotkovou varianci:

$$I'_{ij} = \frac{I_{ij} - \mu}{\sigma}, \quad \mu = \frac{1}{WH} \sum_{i=1}^W \sum_{j=1}^H I_{ij}, \quad \sigma = \sqrt{\frac{1}{WH} \sum_{i=1}^W \sum_{j=1}^H (I_{ij} - \mu)^2}$$

- Ekvalizace histogramu.

## Principal Component Analysis: formulace

- ◆ Cíl: zadané body  $\{\mathbf{x}_1, \dots, \mathbf{x}_m\} \in \mathbb{R}^{n \times m}$  approximovat v  $p$ -dimenzionálním affinním podprostoru, který je daný bází  $A = \{\mathbf{a}_1, \dots, \mathbf{a}_p\} \in \mathbb{R}^{n \times p}$  a středem  $\mu \in \mathbb{R}^n$ :

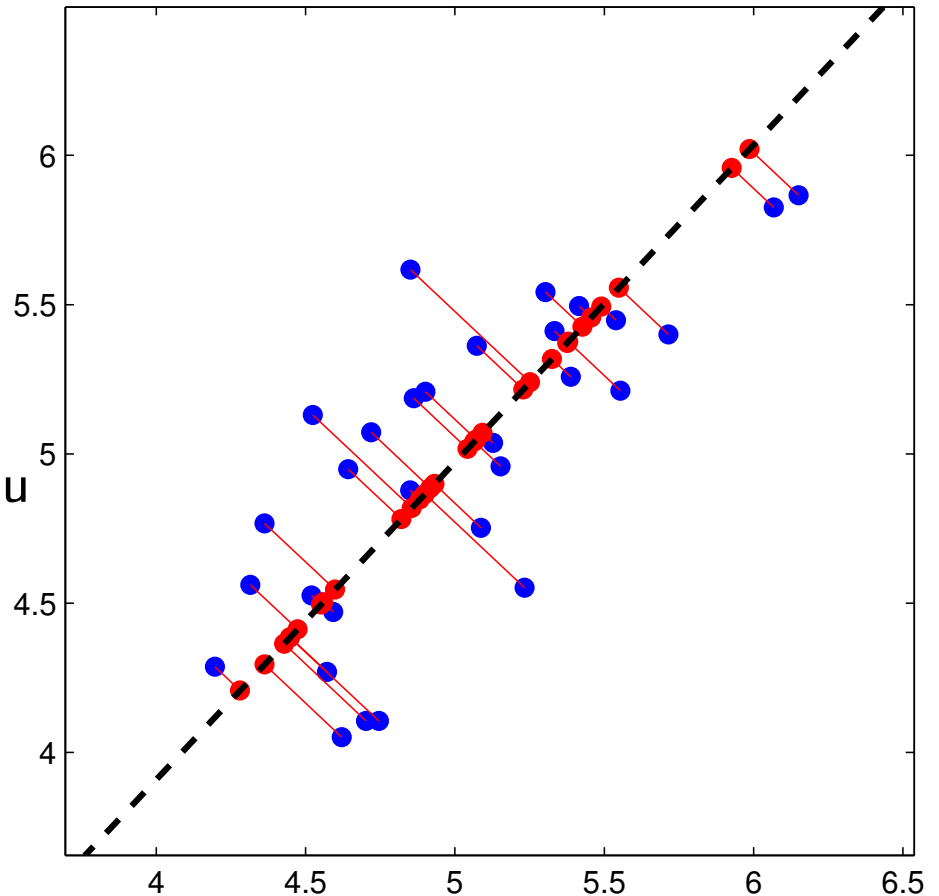
$$\tilde{X} = \left\{ \tilde{\mathbf{x}} \in \mathbb{R}^n \mid \tilde{\mathbf{x}} = \sum_{i=1}^p z_i \mathbf{a}_i + \mu \right\} \subseteq \mathbb{R}^n$$

- ◆ Projekce bodu  $\mathbf{x} \in \mathbb{R}^n$  na podprostor  $\tilde{X}$

$$\tilde{\mathbf{x}} = \underset{\mathbf{x}' \in \tilde{X}}{\operatorname{argmin}} \|\mathbf{x} - \mathbf{x}'\|$$

- ◆ Podprostor  $\tilde{X}$  s minimální approximační chybou

$$E(\tilde{X}) = \sum_{i=1}^m \|\mathbf{x}_i - \tilde{\mathbf{x}}_i\|^2$$



## Principal Component Analysis: řešení

- ◆ Řešením je affinní podprostor jehož bázové vektory  $A = \{\mathbf{a}_1, \dots, \mathbf{a}_p\}$  tvoří  $p$  vlastních vektorů s největším vlastním číslem spočtené z kovarianční matice

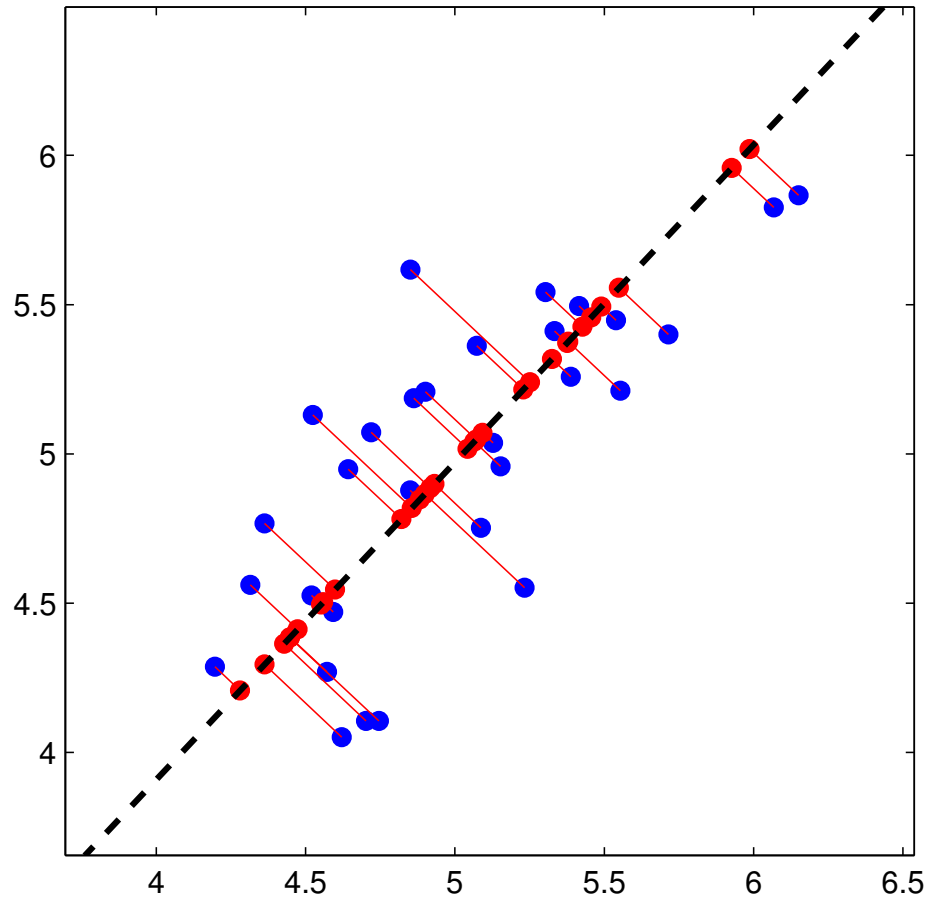
$$\mathbf{C} = \frac{1}{m} \sum_{i=1}^m (\mathbf{x}_i - \mu)(\mathbf{x}_i - \mu)^T \quad \text{kde} \quad \mu = \frac{1}{m} \sum_{i=1}^m \mathbf{x}_i$$

- ◆ Projekce bodu  $\mathbf{x}$  na PCA prostor

$$\mathbf{z} = \mathbf{A}^T(\mathbf{x} - \mu)$$

- ◆ Zpětná projekce

$$\tilde{\mathbf{x}} = \mathbf{Az} + \mu = \sum_{i=1}^p z_i \mathbf{a}_i + \mu$$



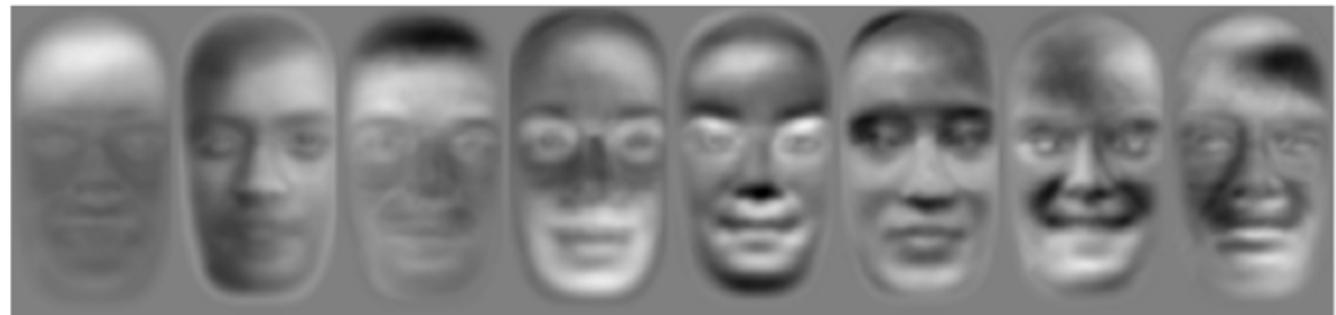
## Použití PCA pro reprezentaci tváří: Eigenfaces

- ◆ Tvář  $\mathbf{x}$  se promítne do  $p$ -dimenzionálního PCA prostoru

$$\mathbf{z} = \mathbf{A}^T(\mathbf{x} - \mu) = (\underbrace{\mathbf{a}_1^T(\mathbf{x} - \mu)}_{z_1}, \dots, \underbrace{\mathbf{a}_p^T(\mathbf{x} - \mu)}_{z_p})^T$$

- ◆ Tvář  $\mathbf{x}$  lze approximovat jako lineární kombinaci  $p$  bázových vektorů ("eigen tváří")

$$\mathbf{x} \quad \tilde{\mathbf{x}} = \mu + z_1 \mathbf{a}_1 + z_2 \mathbf{a}_2 + z_3 \mathbf{a}_3 + z_4 \mathbf{a}_4 + z_5 \mathbf{a}_5 + z_6 \mathbf{a}_6 + z_7 \mathbf{a}_7 + z_8 \mathbf{a}_8$$



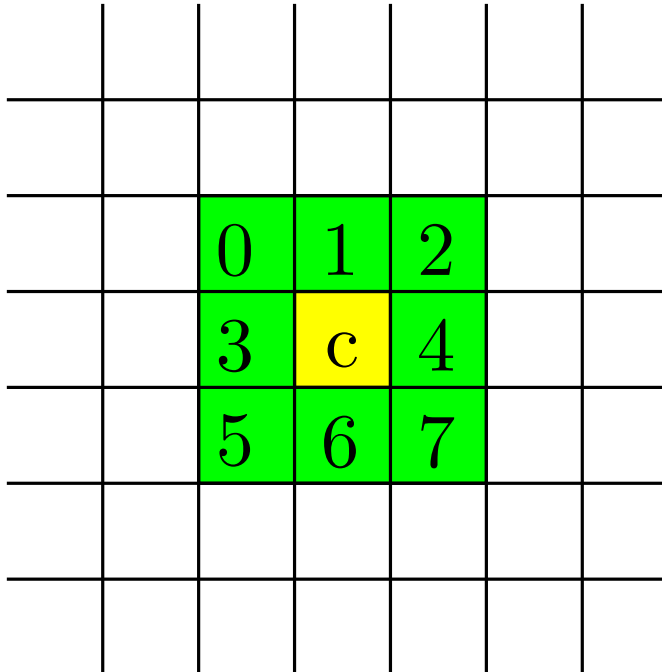
Každý obrázek  $\mathbf{x} \in \mathbb{R}^{H \times W}$  lze reprezentovat pomocí  $H \cdot W$  čísel.

Každý obrázek  $\tilde{\mathbf{x}} \in \mathbb{R}^{H \times W}$  lze reprezentovat pomocí  $p = 8$  čísel.

# Příklad reprezentace pomocí lokálních deskriptorů: Local Binary Patterns

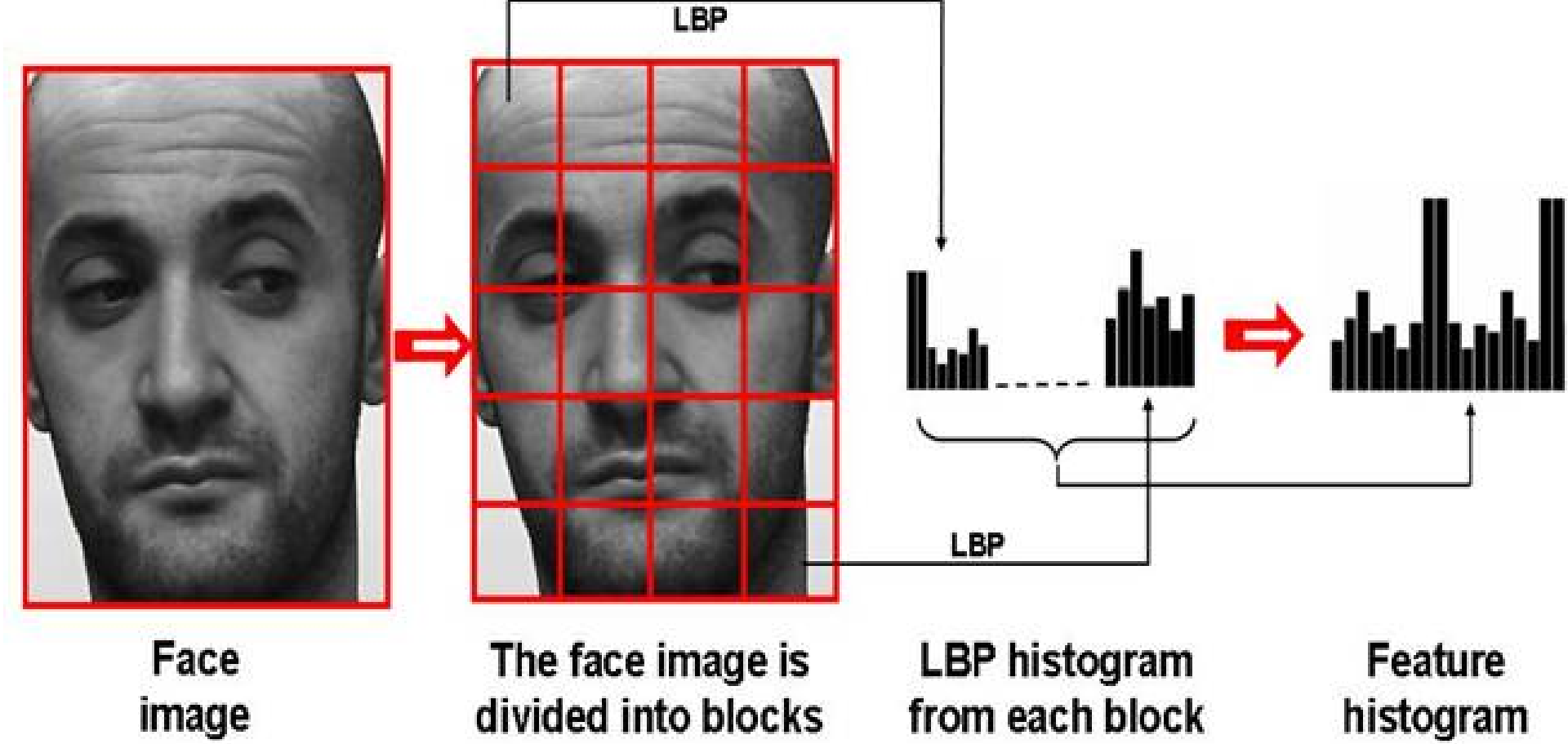
- ◆ LBP přiřadí oknu velikosti  $3 \times 3$  pixelů 8-bitový kód

$$LBP = \sum_{p=0}^7 [I(c) \geq I(p)] 2^p$$



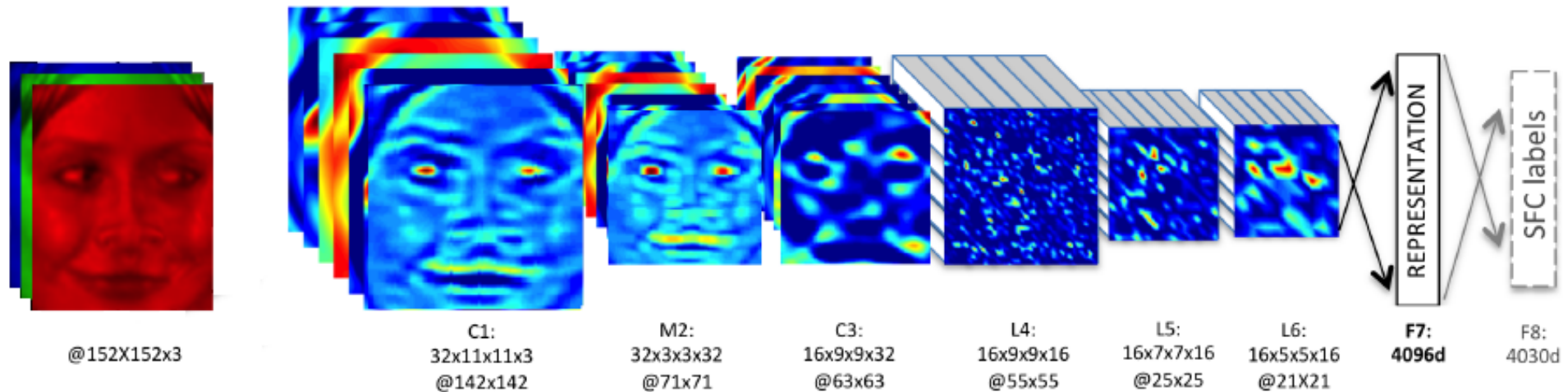
- ◆ LBP příznaky jsou invariantní vůči monotónní změně osvětlení obrázku.

# Příklad reprezentace pomocí lokálních deskriptorů: Local Binary Patterns



# Příznaková reprezentace učená z příkladů pomocí hlubokých konvolučních neuronových sítí

- ◆ **Konvoluční neuronová síť (CNN):** Vstupní obrázek se postupně transformuje pomocí operací konvoluce, ReLU a max-pooling. Poslední vrstvy tvoří Perceptronová síť.



Obrázek převzat z [Taigman et al: DeepFace: Closing the Gap to Human-Level Performance in Face Verification. CVPR 2014](#).

- ◆ CNN:  $I \rightarrow \mathbb{R}^d$  je složená funkce, která převede obrázek na vektorovou reprezentaci.

$$\text{CNN}(\text{obr}) = \text{vrstva}_p \left( \text{vrstva}_{p-1} \left( \cdots \text{vrstva}_1(\text{obr}) \right) \right)$$

## Učení CNN rozpoznávat identitu z obrázku tváře

- ◆ **Základní stavební blok:** Podobnostní funkce  $s: I \times I \rightarrow \mathbb{R}_+$

hodnota  $s(A, B)$  je vysoká



*A*



*B*

hodnota  $s(A, B)$  je nízká



*A*

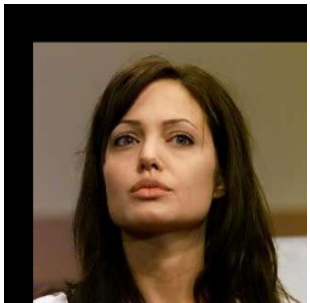


*B*

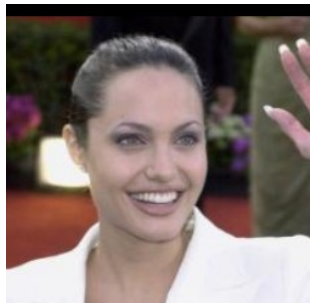
## Učení CNN rozpoznávat identitu z obrázku tváře

- ◆ **Základní stavební blok:** Podobnostní funkce  $s: I \times I \rightarrow \mathbb{R}_+$

hodnota  $s(A, B)$  je vysoká



*A*



*B*

hodnota  $s(A, B)$  je nízká



*A*



*B*

- ◆ **Kosinová vzdálenost:**

$$s(A, B) = \frac{\text{CNN}(A)^T \text{CNN}(B)}{\|\text{CNN}(A)\| \|\text{CNN}(B)\|}$$

kde  $\text{CNN}: I \rightarrow \mathbb{R}^d$  je reprezentace obrázku získaná pomocí sítě.

## Učení CNN: Transfer learning

- ◆ **Transfer learning:** použij síť naučenou řešit podobnou úlohu.

Učení CNN pro klasifikaci tváří do  $K$  tříd vede na maximální úlohu

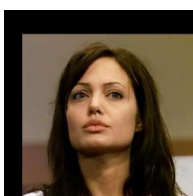
$$\text{kriterium}(\text{CNN}, \text{template}_1, \dots, \text{template}_K) = \sum_{i=1}^n \log p(\text{id}_i \mid \text{obr}_i)$$

kde

$$p(\text{id} \mid \text{obr}) = \frac{\exp(\text{CNN}(\text{obr})^T \text{template}_{\text{id}})}{\sum_{i=1}^K \exp(\text{CNN}(\text{obr})^T \text{template}_i)}$$

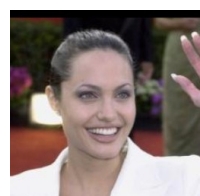
- ◆ **Trénovací množina:** Obrázky tváří a jejich identita

$\text{id} = 1$

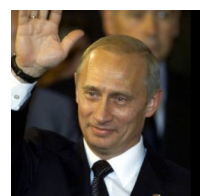


...

$\text{id} = 1$



$\text{id} = 2$



...

$\text{id} = 2$



...

$\text{id} = K$



...

$\text{id} = K$

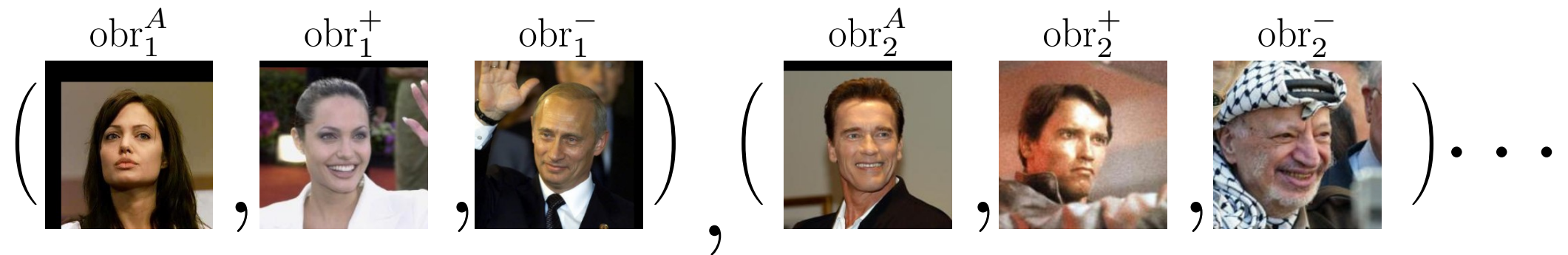


## Učení CNN: Triplet loss

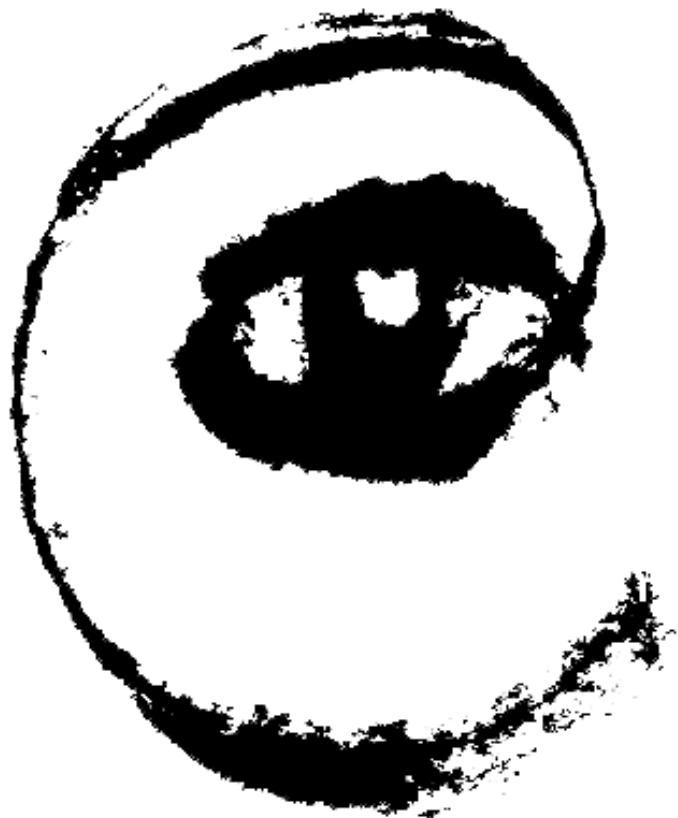
- ◆ **Učení:** vede na minimalizační úlohu

$$\text{kriterium(CNN)} = \sum_{i=1}^n \max \left\{ 0, \| \text{CNN}(\text{obr}_i^A) - \text{CNN}(\text{obr}_i^+) \|^2 - \| \text{CNN}(\text{obr}_i^A) - \text{CNN}(\text{obr}_i^-) \|^2 + \alpha \right\}$$

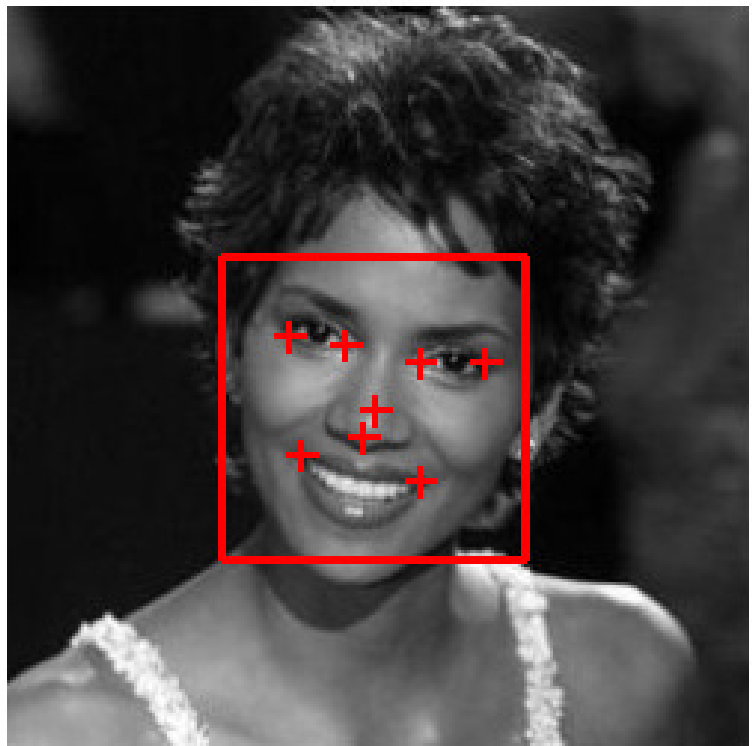
- ◆ **Trénovací množina:** trojice obrázků (A, stejná identita jako A, jiná identita než A)

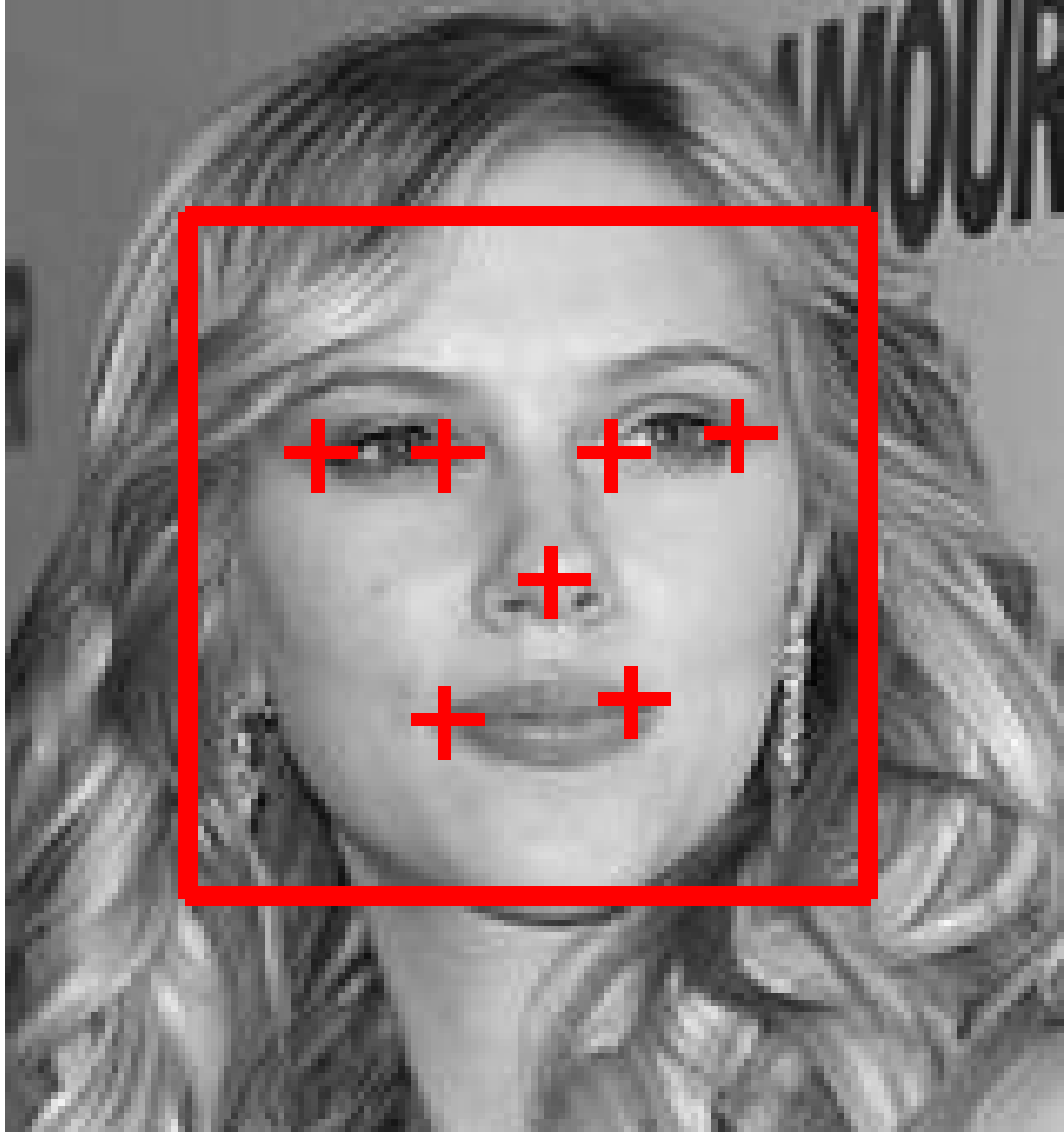


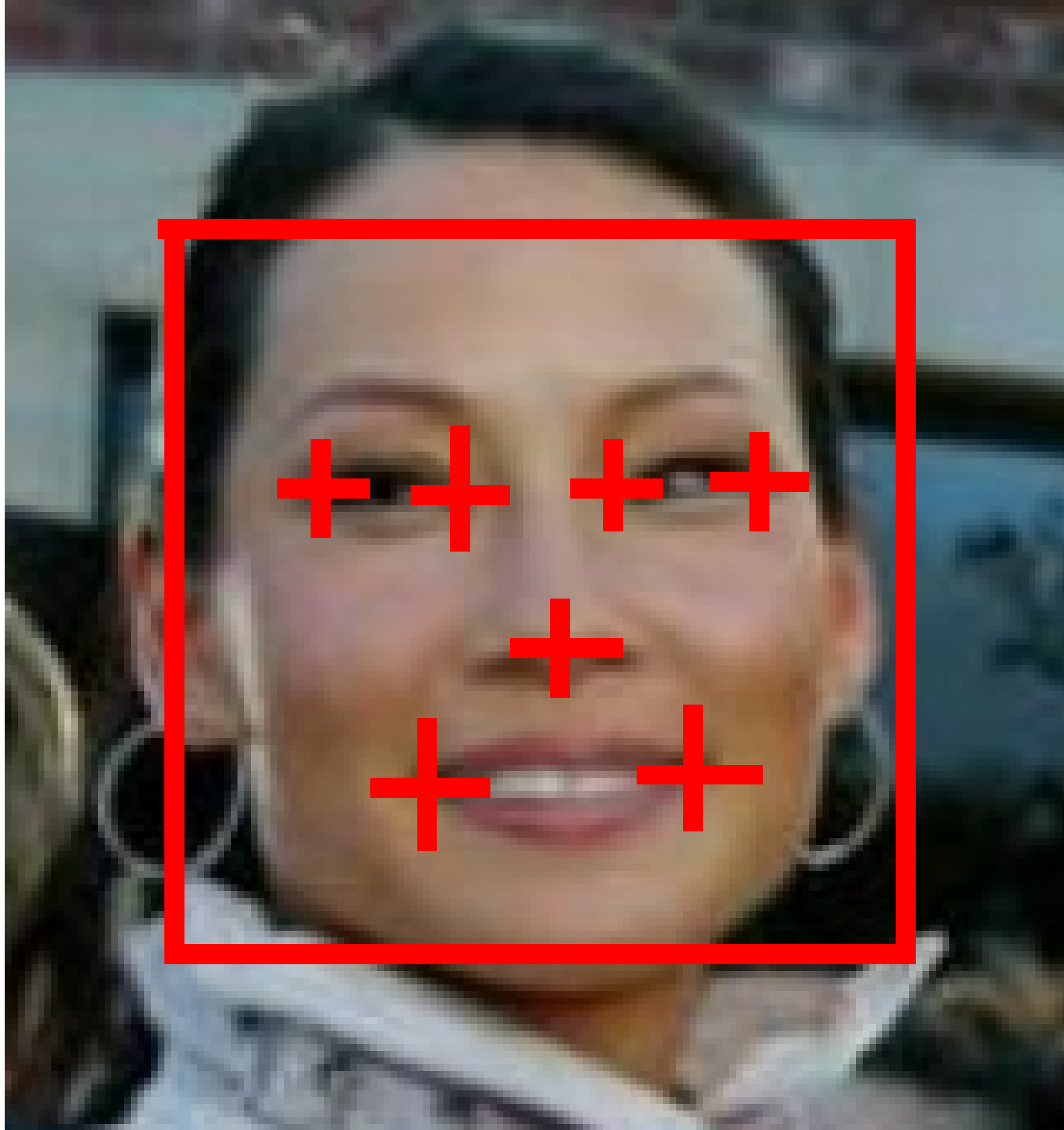
# Konec

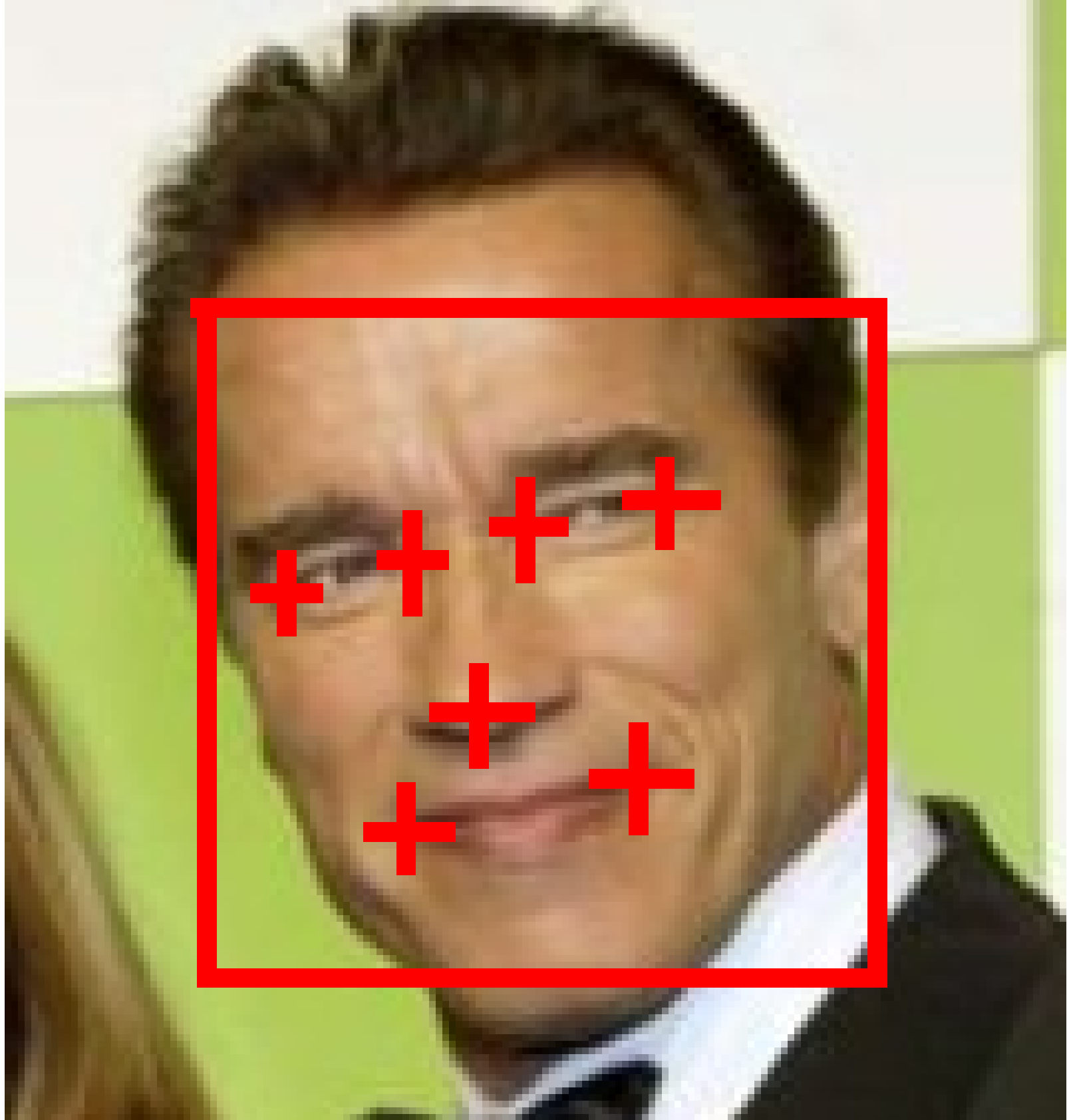


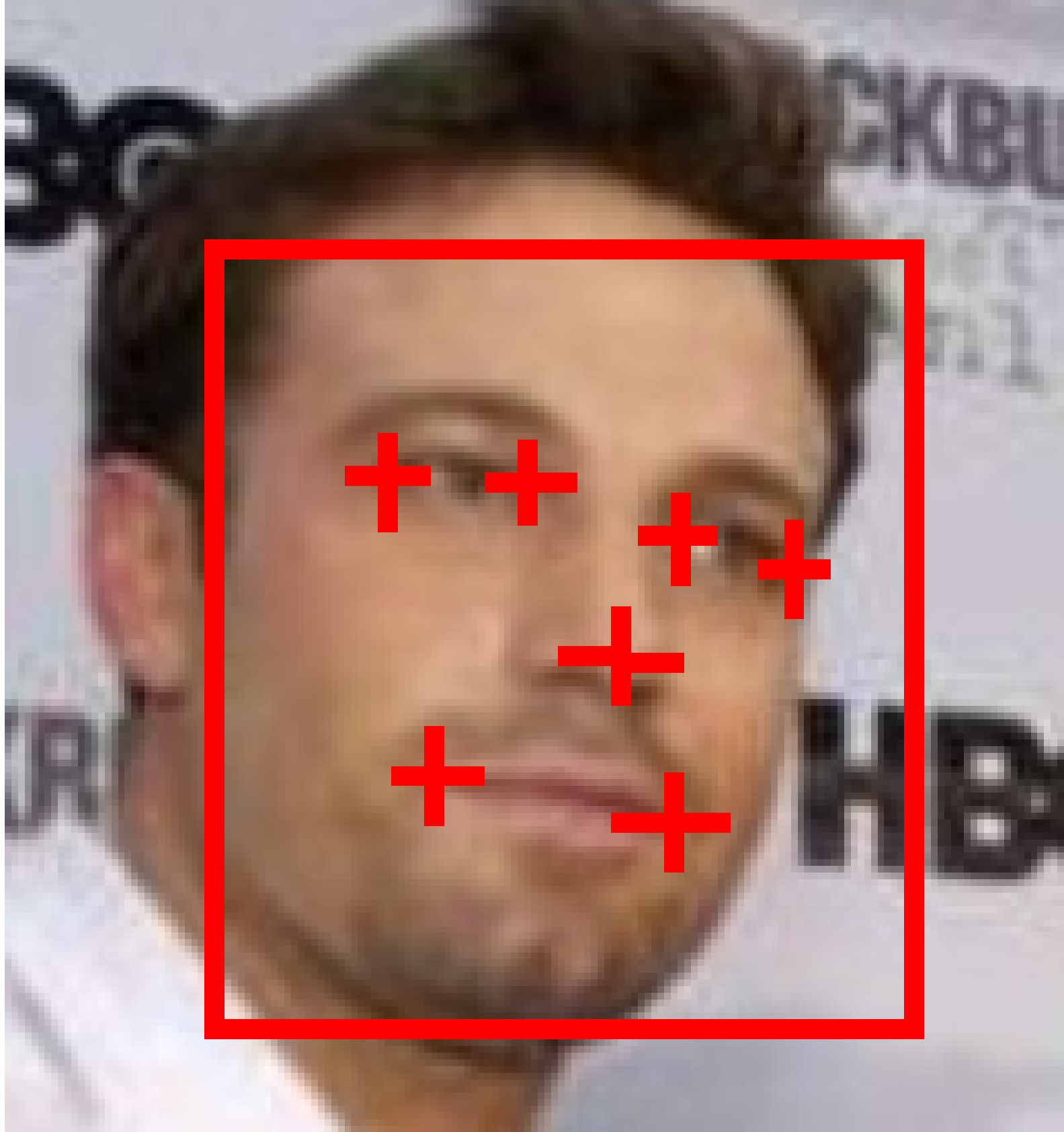
m p

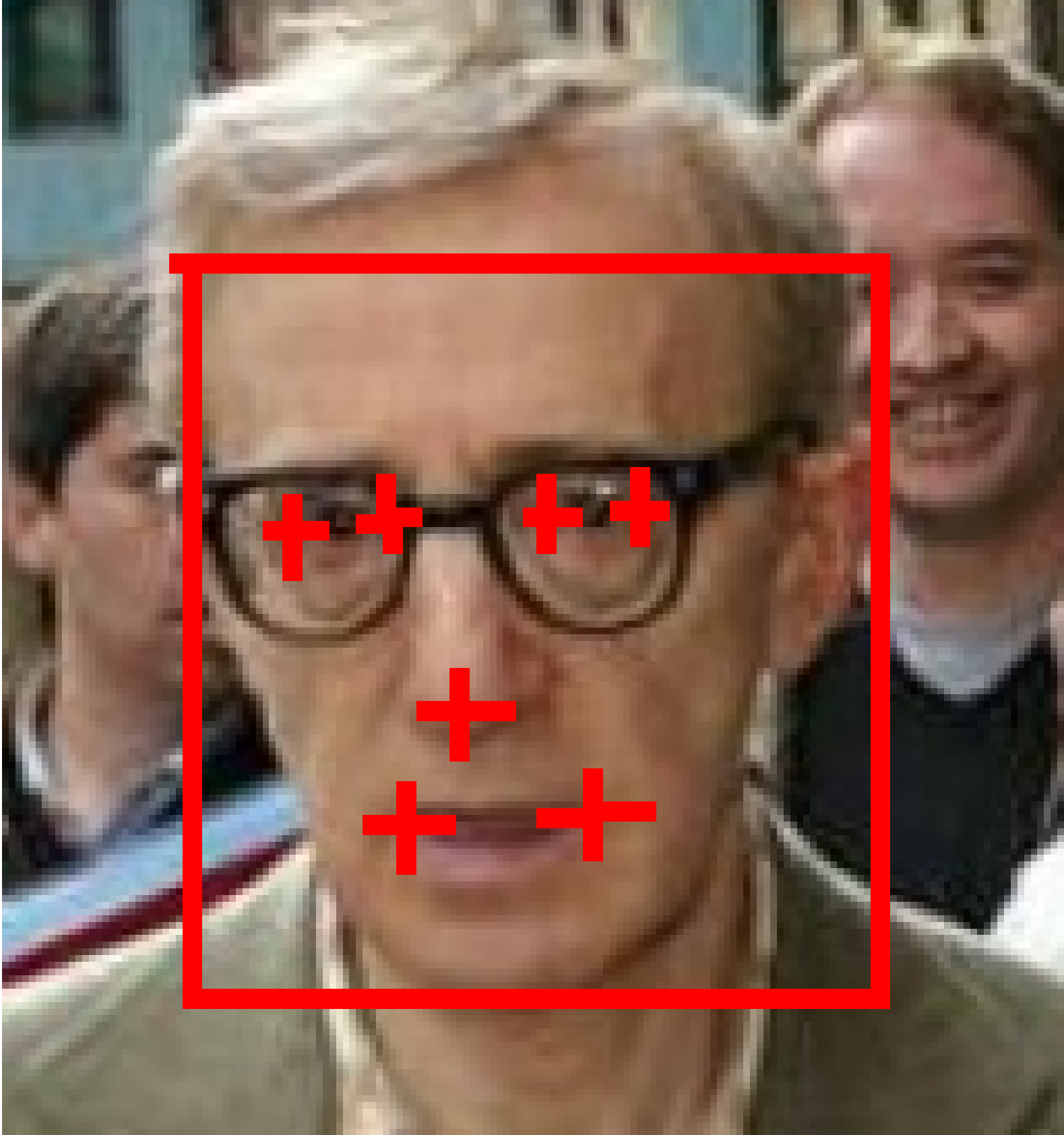


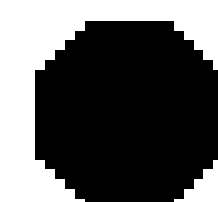
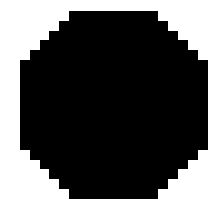
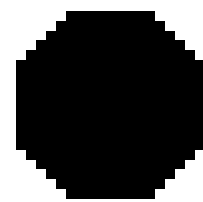


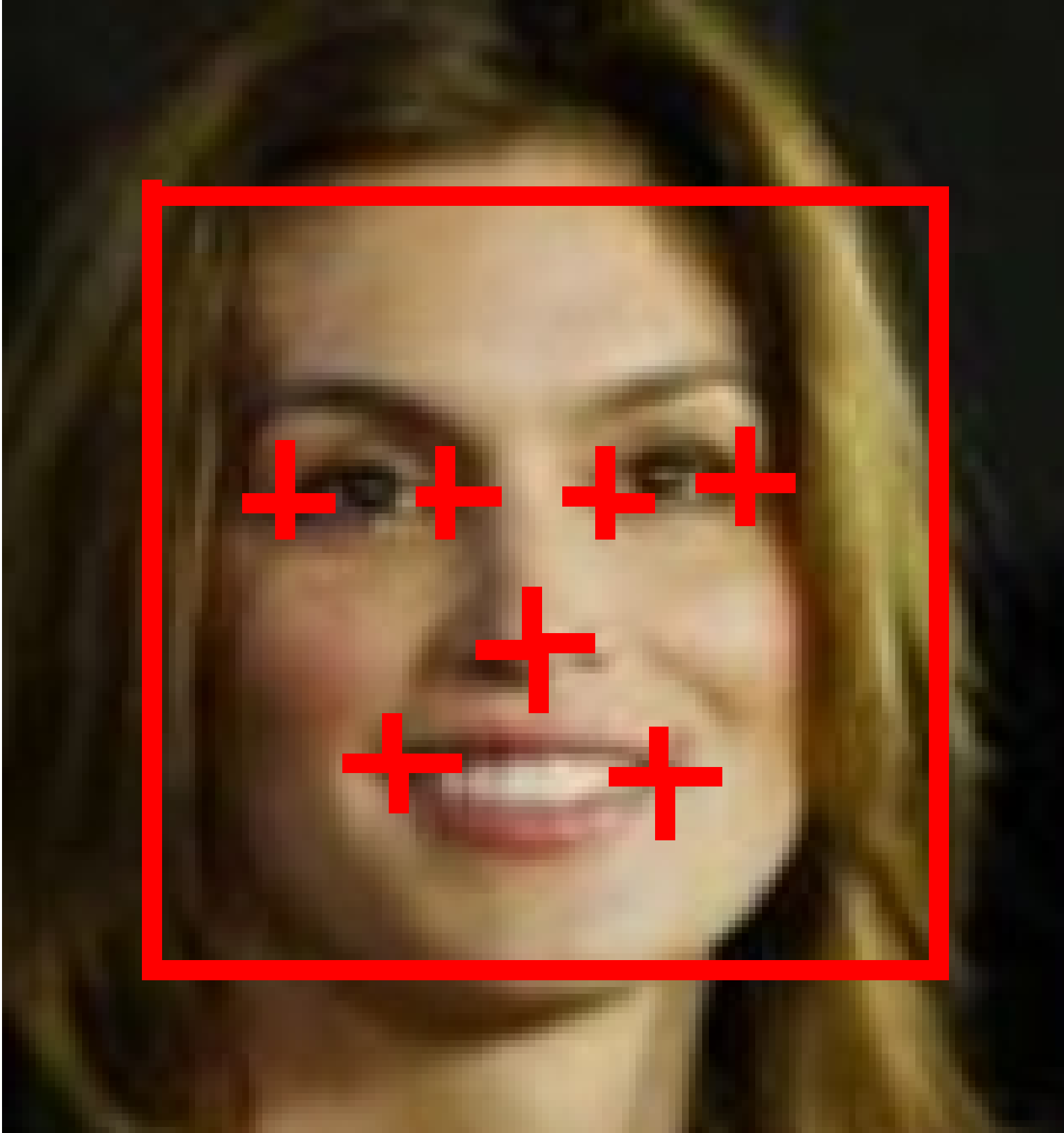


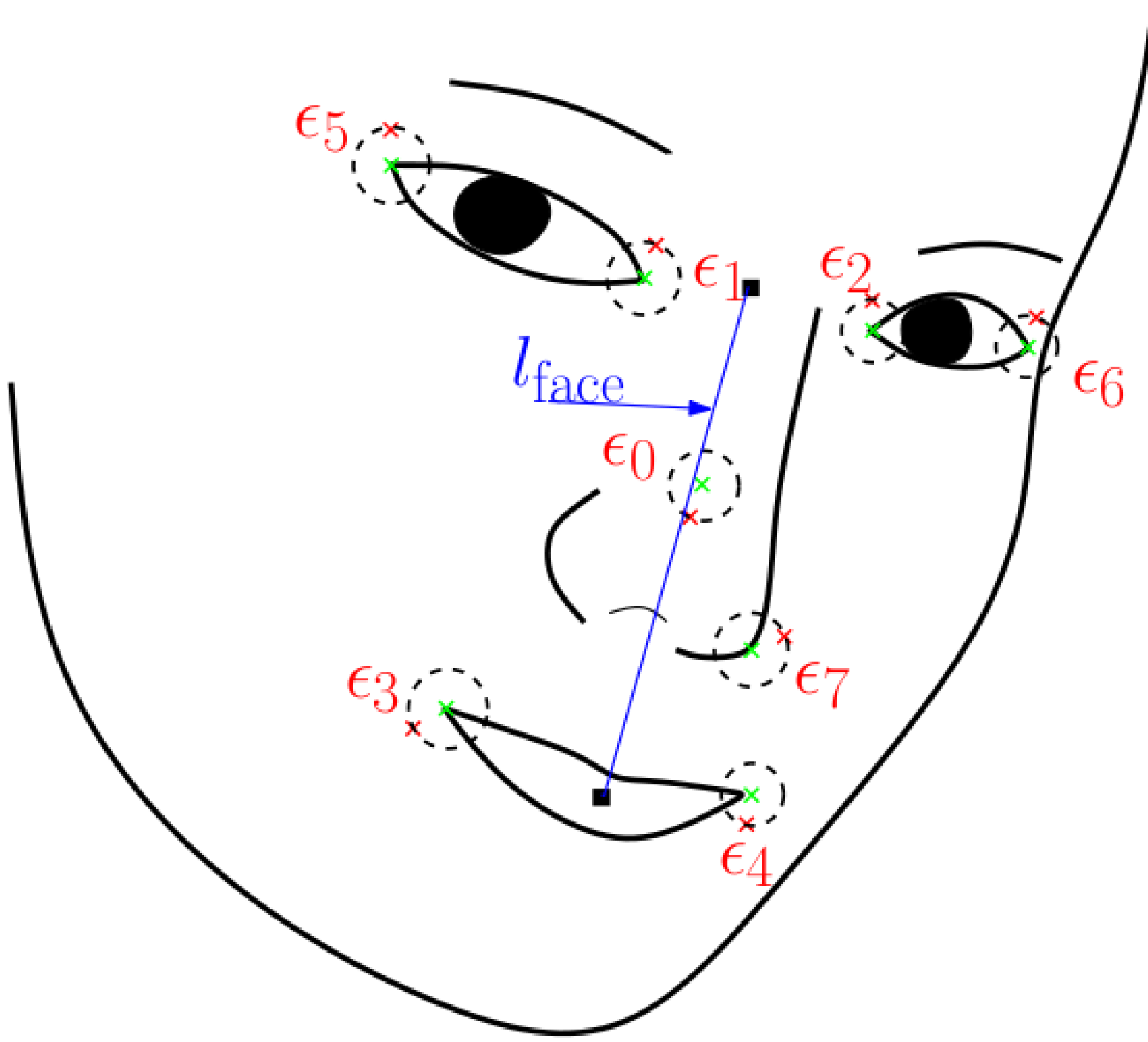




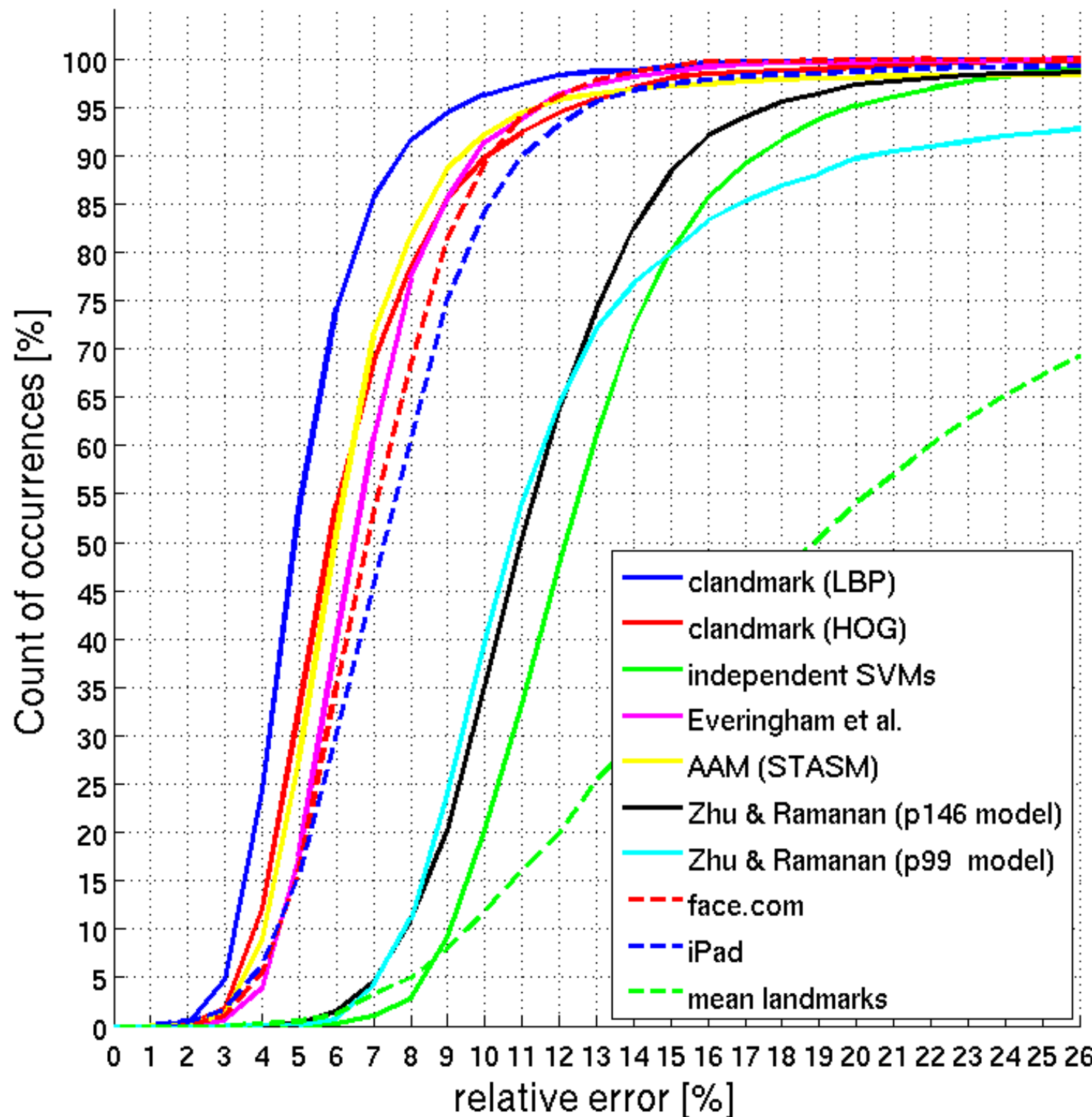


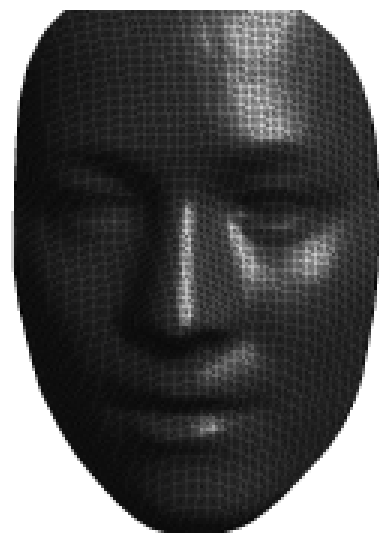
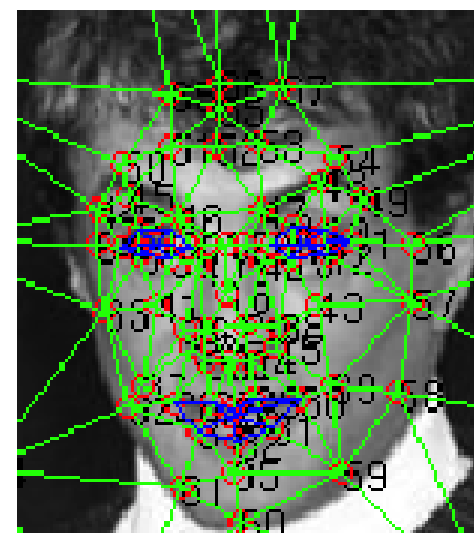


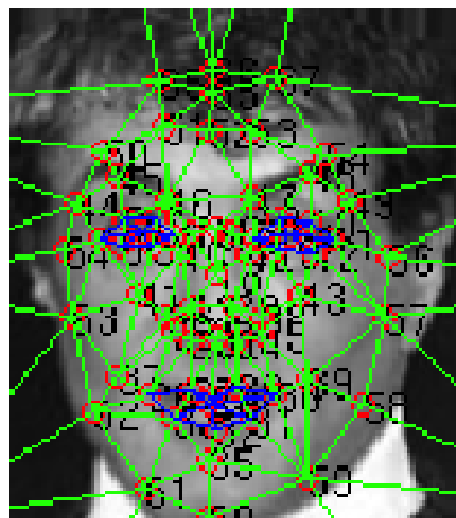
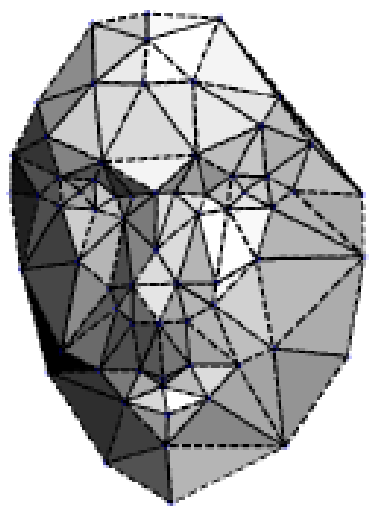




# LFW database - Cumulative historgam of mean errors



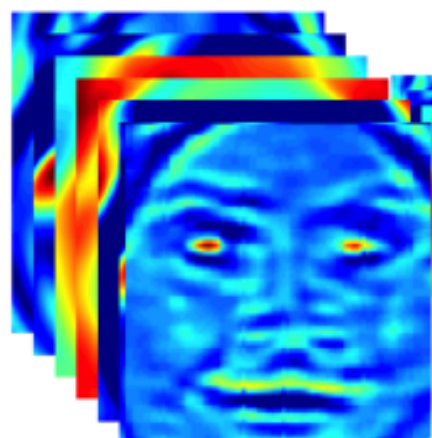




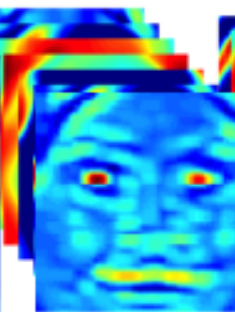




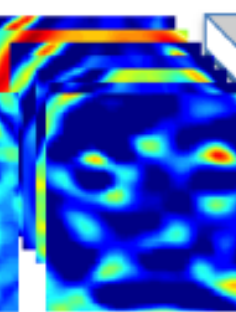
@152X152x3



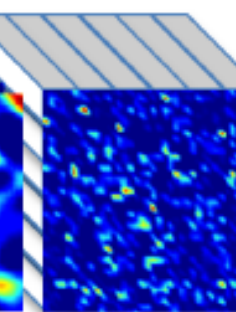
C1:  
32x11x11x3  
@142x142



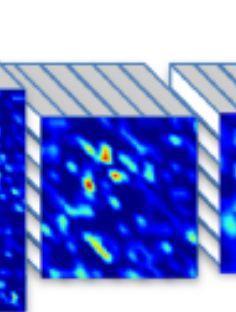
M2:  
32x3x3x32  
@71x71



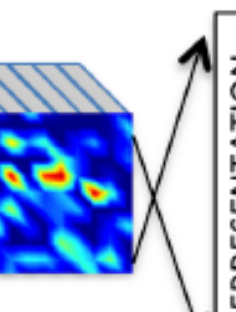
C3:  
16x9x9x32  
@63x63



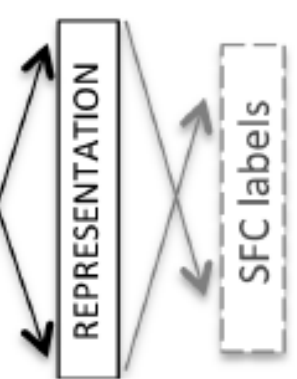
L4:  
16x9x9x16  
@55x55



L5:  
16x7x7x16  
@25x25



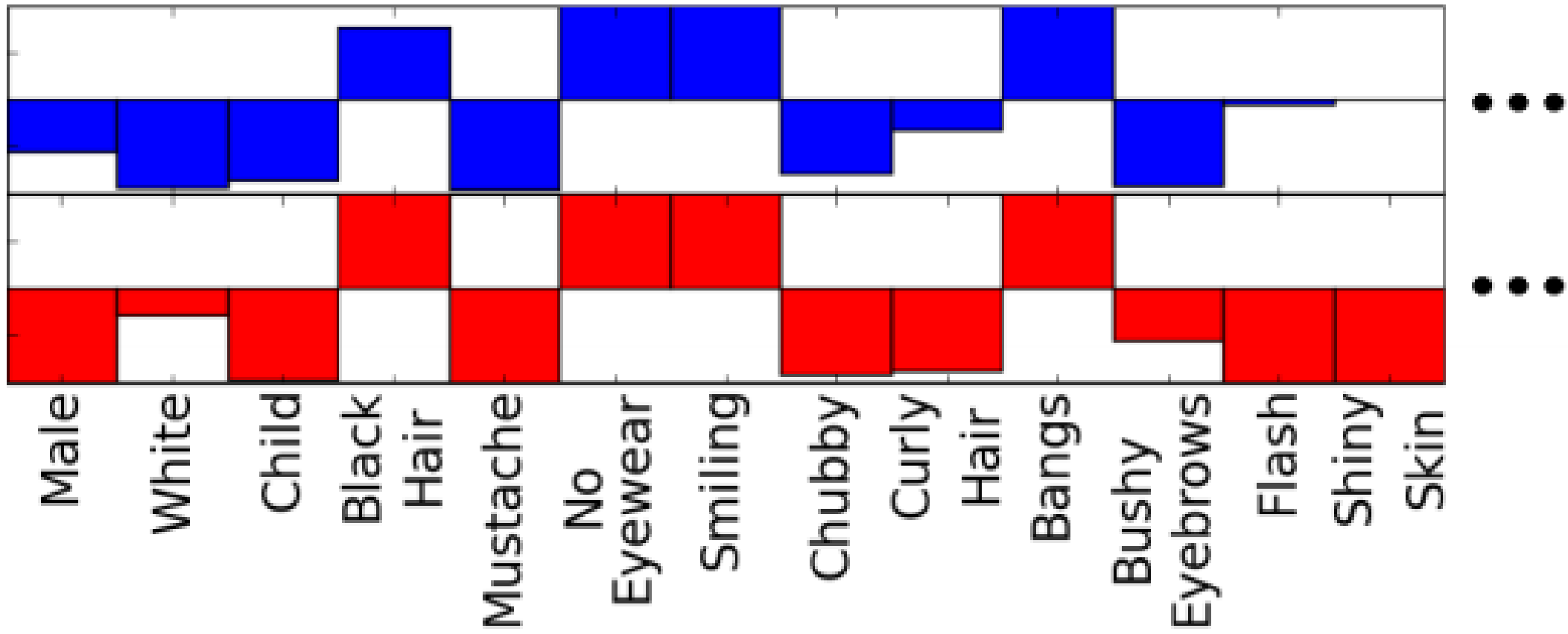
L6:  
16x5x5x16  
@21x21

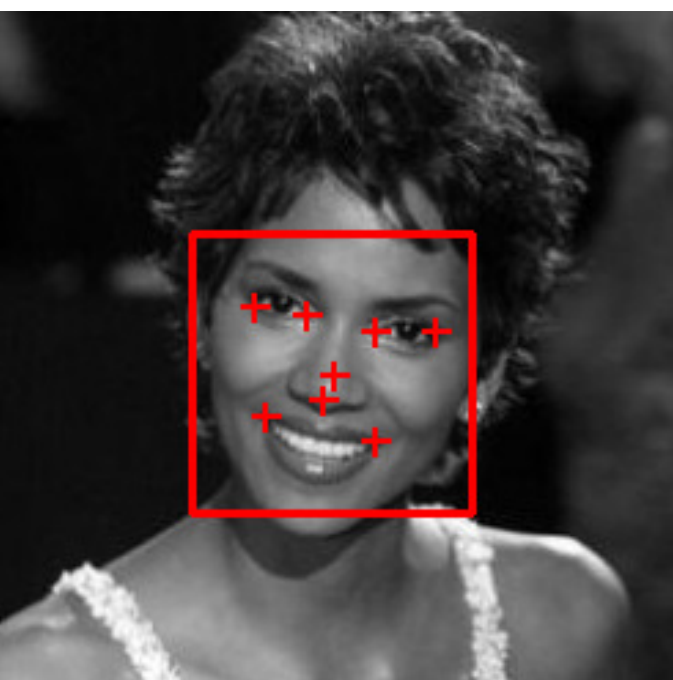


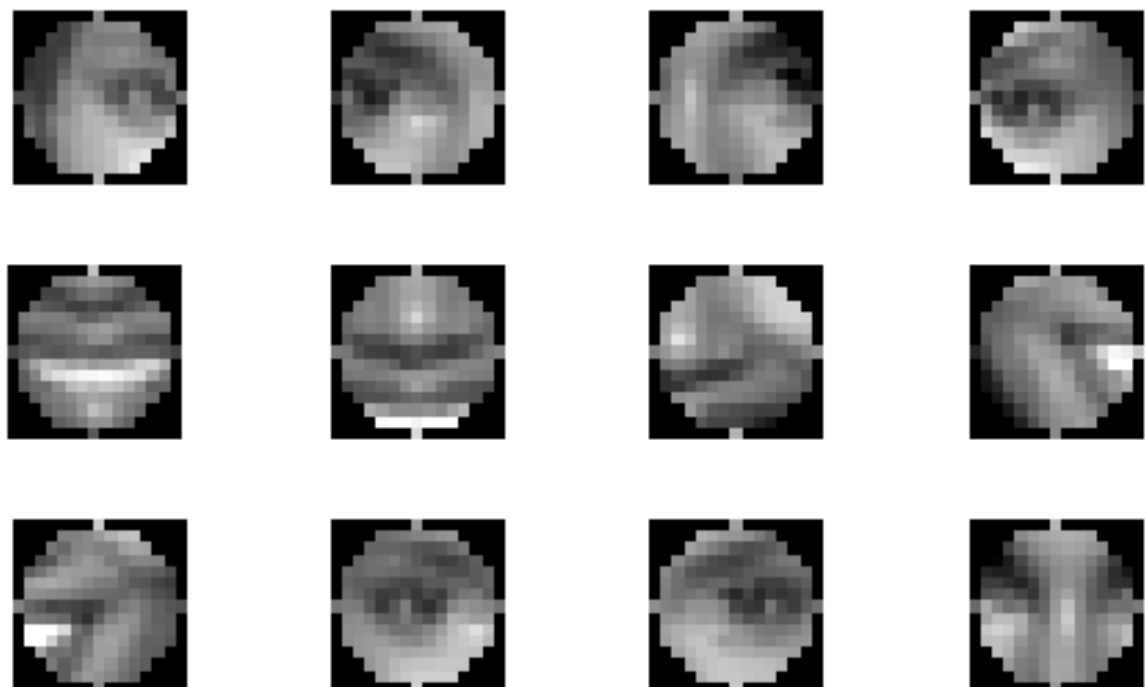
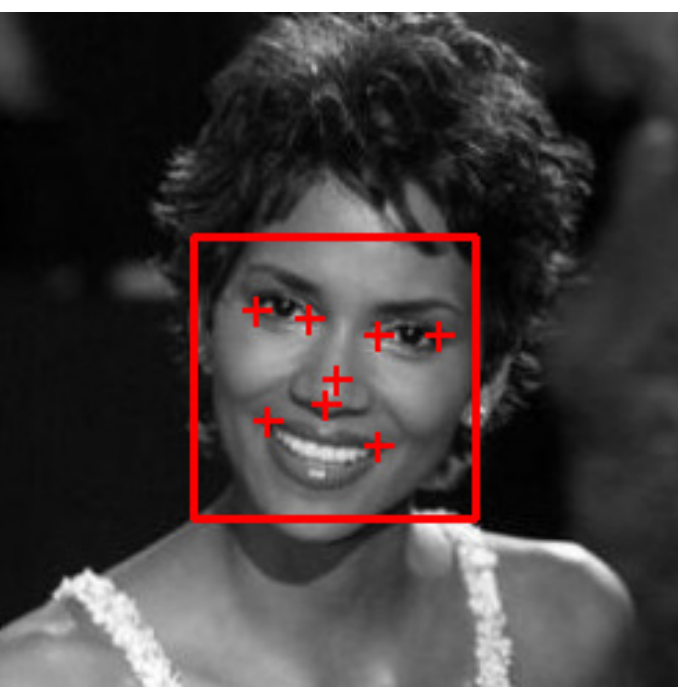
F7:  
4096d

F8:  
4030d





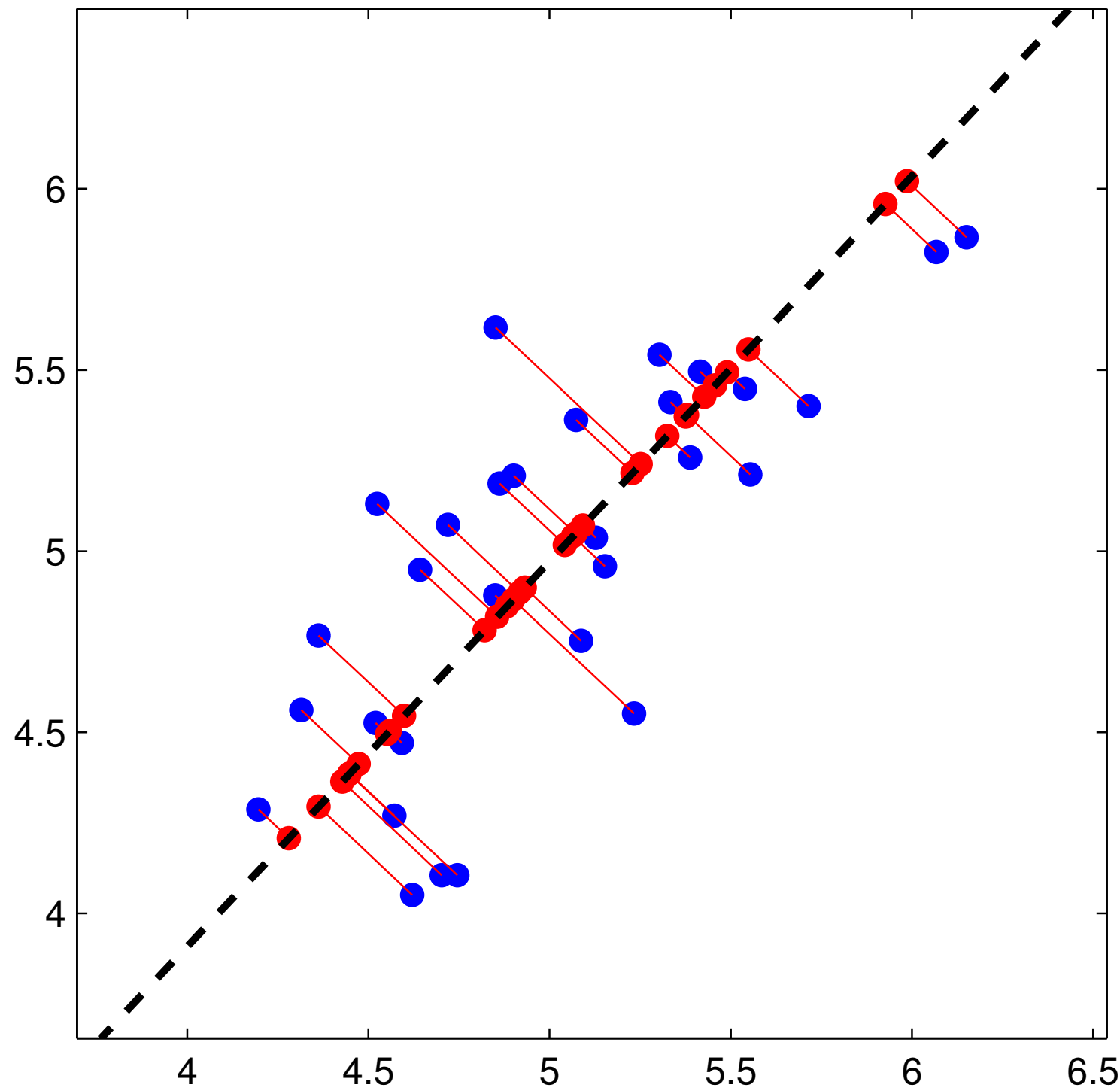


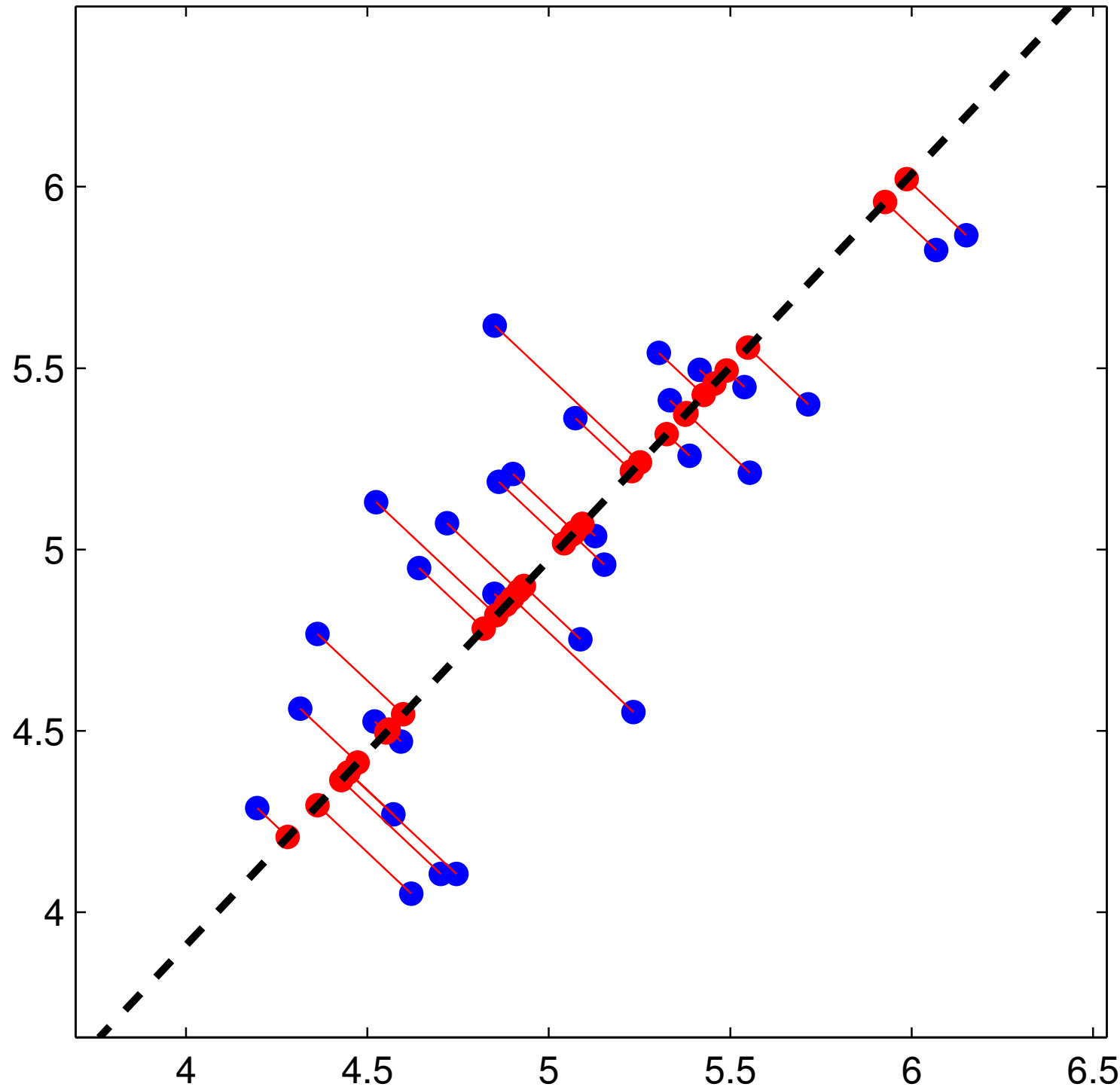


1	5	9	13
2	6	10	14
3	7	11	15
4	8	12	16



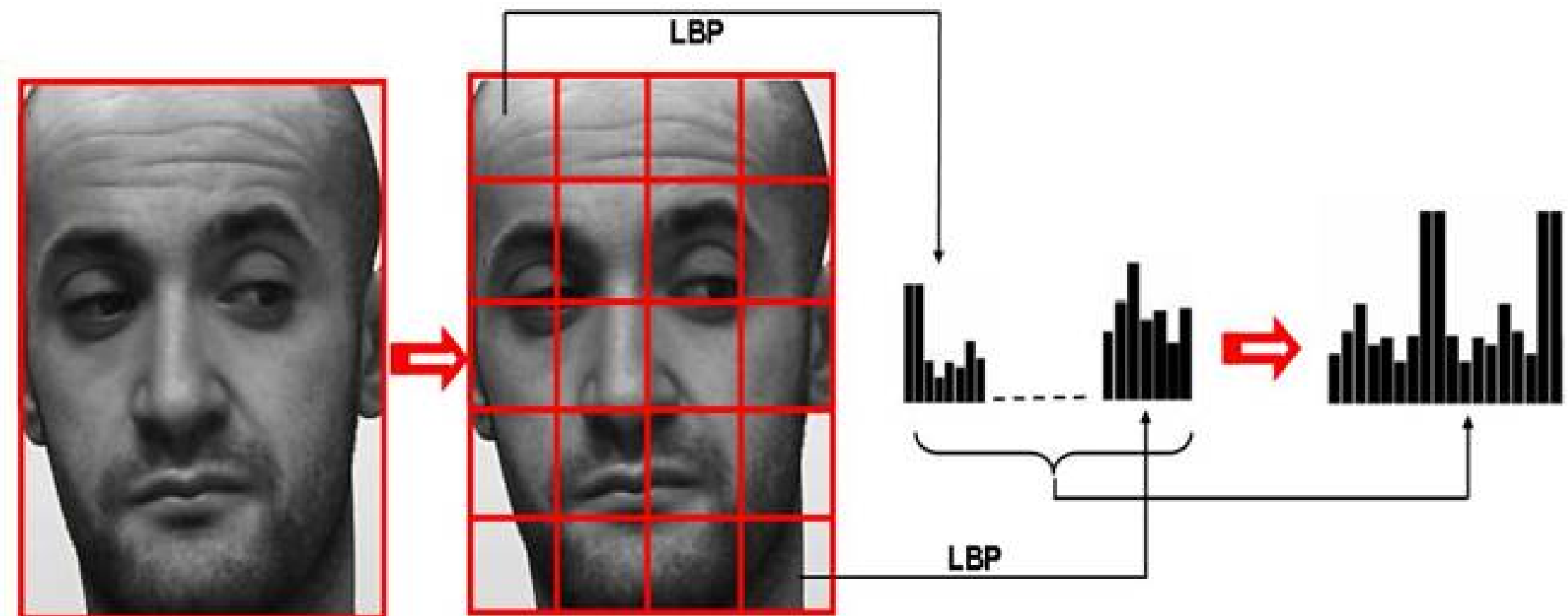
- 1
- 2
- 3
- ⋮
- 16







0	1	2		
3	c	4		
5	6	7		



Face  
image

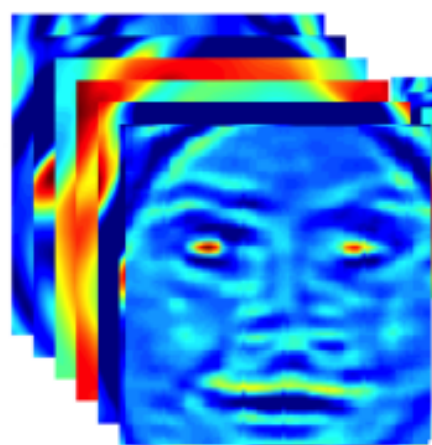
The face image is  
divided into blocks

LBP histogram  
from each block

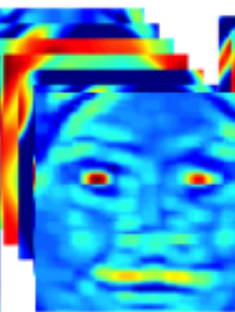
Feature  
histogram



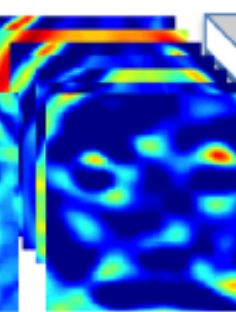
@152X152x3



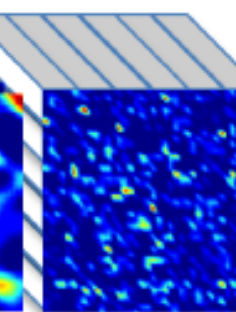
C1:  
32x11x11x3  
@142x142



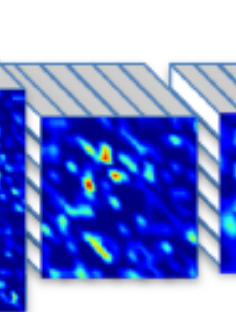
M2:  
32x3x3x32  
@71x71



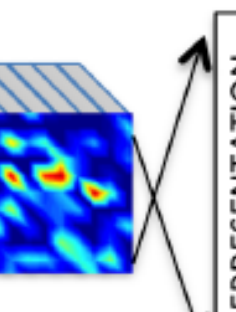
C3:  
16x9x9x32  
@63x63



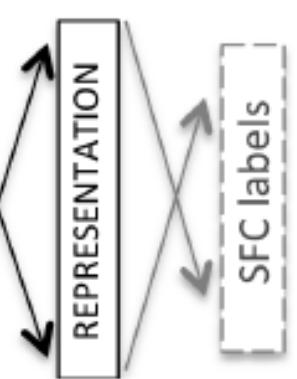
L4:  
16x9x9x16  
@55x55



L5:  
16x7x7x16  
@25x25



L6:  
16x5x5x16  
@21x21



F7:  
4096d

F8:  
4030d































